

## บทที่ 2

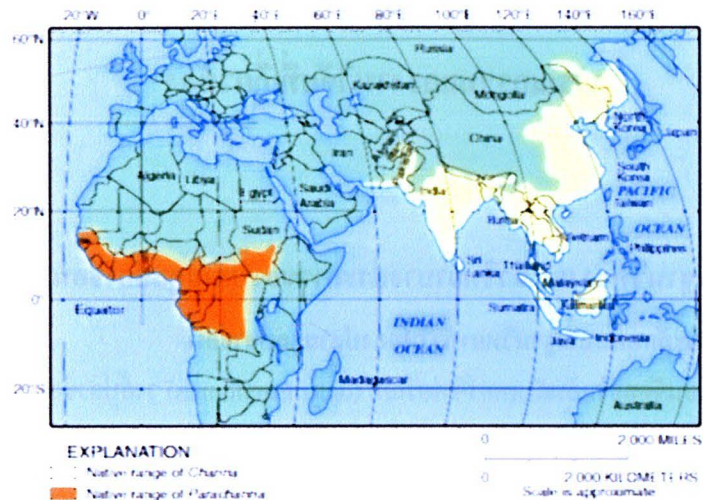
### วรรณกรรมและงานวิจัยที่เกี่ยวข้อง

#### 1. อนุกรมวิธาน สัณฐานวิทยา และชีวิทยานางประการของปลาสกุลปลาช่อน

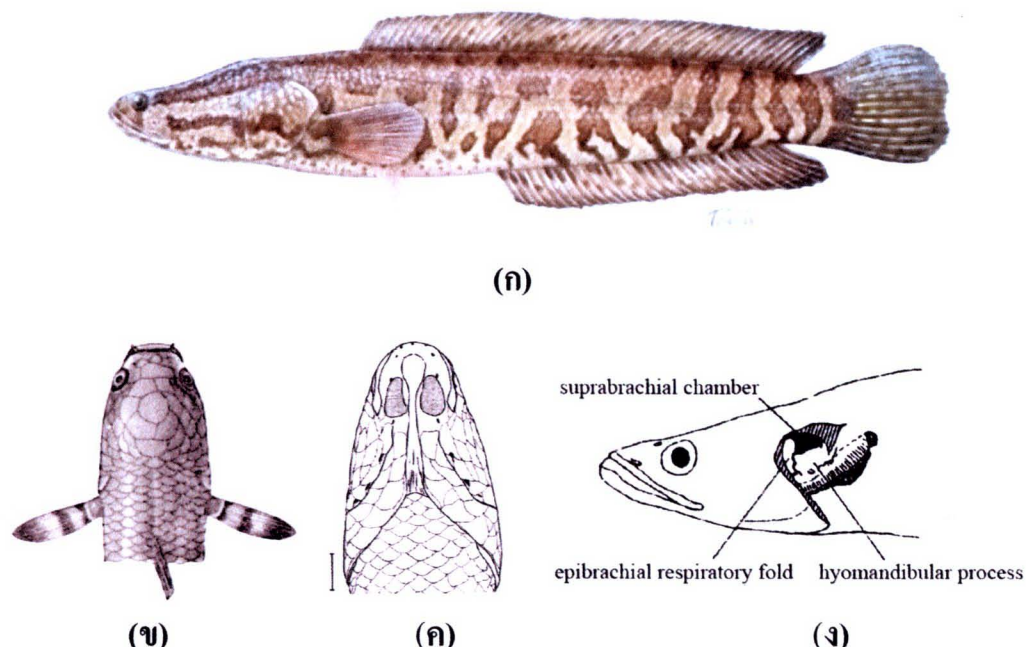
##### 1.1 อนุกรมวิธานและลักษณะสัณฐานวิทยาทั่วไปของปลาสกุลปลาช่อน

ปลาสกุลปลาช่อนจัดอยู่ในอันดับเพอร์ซิฟอร์เมส (order Perciformes) วงศ์ปลาช่อน (family Channidae) สมาชิกในวงศ์นี้จำแนกเป็น 2 สกุล คือ สกุลปลาช่อน [genus *Channa* (Scopoli, 1777)] และสกุลปลาช่อนแอฟริกา [genus *Parachanna* (Teugels and Daget, 1984)] (Nelson, 1994; Courtenay and Williams, 2004) สมาชิกของสกุลปลาช่อนพบแพร่กระจายบริเวณทวีปเอเชีย ตั้งแต่ภาคตะวันออกเฉียงใต้ของประเทศอินเดีย ประเทศไทย ลาว เวียดนาม มาเลเซีย หมู่เกาะสุมาตรา อินโดนีเซีย เกาหลี ญี่ปุ่น จีน และไชนาเรีย ส่วนสมาชิกของสกุลปลาช่อนแอฟริกาพบเฉพาะในเขตตอนของทวีปแอฟริกาเท่านั้น (Ng and Lim, 1990; Nelson, 1994; Courtenay and Williams, 2004) ดังแผนภาพการแพร่กระจายที่แสดงในภาพที่ 1 (Courtenay and Williams, 2004)

ลักษณะสัณฐานวิทยาโดยทั่วไปของปลาช่อน คือ มีลำตัวรูปร่างยาว (elongate) ตอนหน้ามีลักษณะเป็นรูปทรงกระบอก ตอนท้ายมีรูปร่างแบบข้าง หัวแบบในแนวบนล่าง (depressed form) ตาอยู่บริเวณตำแหน่งด้านข้างตอนหน้า (dorsolateral position) ของหัว รูจมูก (nose) ยื่นออกไปทางด้านหน้าลักษณะคล้ายห่อ และจะหดตื้นหรือหายไปเมื่อโตเต็มวัย ปากอยู่ด้านหน้าสุดและมีขนาดใหญ่ จงอยปากสันทูริมฝีปากล่างชื่น牙 เลยริมฝีปากบนเล็กน้อย มีฟันที่มีลักษณะคล้ายฟันเชี้ยว (canine-like teeth) บนกระดูกขากรรไกรล่าง (mandibular teeth) และบางชนิดอาจมีฟันบนกระดูกหน้าโวเมอร์ (prevomerine teeth) และกระดูกเพคานปาก (palatine teeth) ครึ่งประกอบด้วยก้านครึ่งอ่อนเท่านั้น โดยครึ่งหลังและครึ่งก้นปาก ครึ่งทางมีลักษณะกลม เกล็ดเป็นแบบไซคลอยด์ (cycloid) หรือทินอยด์ (ctenoid) หดายนิดมีเกล็ดขนาดใหญ่อยู่บริเวณด้านบนของหัวและเรียงตัวคล้ายกลีบกุหลาบ (rosette) และบริเวณได้ทางอาจมีแผ่นเกล็ดขนาดใหญ่ มีอวัยวะพิเศษช่วยในการหายใจ โดยมีลักษณะเป็นช่องว่างอยู่ด้านบนตอนท้าย (dorsoposterior) ของช่องเหงือกเรียกว่า “ช่องเหนือช่องเหงือก (suprabrachial chamber)” ช่องดังกล่าวบุศวยเนื้อเยื่อบุผิวที่เกี่ยวข้องกับการแลกเปลี่ยนกําช (respiratory epithelium) ในปลาสกุลปลาช่อน ช่องดังกล่าวถูกกั้นโดยแผ่นกระดูกที่ยื่นมาจากส่วนผิวดวงกระดูกแกนเหงือก คู่ที่ 1 (first gill arch) และแขนงของกระดูกที่เชื่อมระหว่างแกนเหงือกคู่ที่ 2 กับขากรรไกรล่าง (hyomandibular process) ในขณะที่ปลาสกุลปลาช่อนแอฟริกาเป็นเพียงช่องว่างแบบง่าย (simple chamber) ลักษณะสัณฐานวิทยาทั่วไปของปลาสกุลปลาช่อนแสดงดังในภาพที่ 2 (Ng and Lim, 1990; Nelson, 1994; Berra, 2001; Zhang *et al.*, 2002; Courtenay and Williams, 2004)



ภาพที่ 1 แผนภาพการกระจายตัวความธรรมชาติของปลาสุกปลาช่อน แสดงการกระจายตัวของสกุลปลาช่อน (*Channa* spp.) ที่พบเฉพาะในทวีปเอเชีย (บริเวณสีเหลืองในภาพ) และสกุลปลาช่อนแอฟริกา (*Parachanna* spp.) ที่พบเฉพาะในบริเวณเขตธุรกิจของทวีปแอฟริกา (บริเวณสีส้มในภาพ) (Courtenay and Williams, 2004)



ภาพที่ 2 ลักษณะสัณฐานวิทยาทางประการของปลาสุกปลาช่อน แสดงลักษณะรูปร่างภายนอกโดยทั่วไป (ก: Courtenay and Williams, 2005) ลักษณะของเกล็ดบนส่วนหัวค้านบนที่เรียกว่าคล้ายกลีบกุหลาบ (ข: Courtenay and Williams, 2004) ลักษณะของแผ่นเกล็ดใต้คาง (ค: Mukasinthorn, 1999) และลักษณะของช่องเหนื้อช่องเหงือกที่แบ่งเป็นสองช่อง (ง: Mukasinthorn, 1999)

ปัจจุบันเป็นที่ยอมรับกันว่า ปลาวงศ์ปลาช่อนประกอบด้วยสมาชิกทั้งหมด 2 สกุล 31 ชนิด โดยสกุลปลาช่อนออฟริการะบบทั่วไปมี 3 ชนิด ได้แก่ *Parachanna obscura* (Günther, 1861), *Parachanna insignis* (Sauvage, 1884) และ *Parachanna aifica* (Steindachner, 1887) ในขณะที่สกุลปลาช่อนประกอบด้วยสมาชิกจำนวน 28 ชนิด ดังรายละเอียดที่แสดงในตารางที่ 1 และจำนวน 5 ชนิด ได้แก่ *Channa gachua* (Hamilton, 1822), *Channa marulius* (Hamilton, 1822), *Channa microlepis* (Cuvier, 1831), *Channa punctata* (Bloch, 1793) และ *Channa striata* (Bloch, 1797) ถูกจัดเป็นชนิดซับซ้อน (species complex) ซึ่งต้องมีการทบทวนทางอนุกรมวิธานอย่างละเอียดต่อไป (Nelson, 1994; Musikasinthorn, 1998, 2000; Musikasinthorn and Taki, 2001; Courtenay and Williams, 2004; Britz, 2007)

ตารางที่ 1 รายชื่อของปลาสกุลปลาช่อนที่ได้รับการยอมรับว่าเป็นชื่อที่ถูกต้อง (valid name)

ลำดับ ที่	ชื่อวิทยาศาสตร์	ลำดับ ที่	ชื่อวิทยาศาสตร์
1	<i>Channa amphibeus</i> (McClelland, 1845)	2	<i>Channa argus</i> (Cantor, 1842)
3	<i>Channa asiatica</i> (Linnaeus, 1758)	4	<i>Channa aurantimaculata</i> Musikasinthorn, 2000
5	<i>Channa bankanensis</i> (Bleeker, 1852)	6	<i>Channa baramensis</i> (Steindachner, 1901)
7	<i>Channa barca</i> (Hamilton, 1822)	8	<i>Channa bleheri</i> Vierke, 1991
9	<i>Channa burmanica</i> Chaudhuri, 1919	10	<i>Channa cyanospilos</i> (Bleeker, 1853)
11	<i>Channa gachua</i> (Hamilton, 1822)	12	<i>Channa harcourtbutleri</i> (Annandale, 1918)
13	<i>Channa lucius</i> (Cuvier, 1831)	14	<i>Channa maculata</i> (Lacepede, 1802)
15	<i>Channa marulius</i> (Hamilton, 1822)	16	<i>Channa marulioides</i> (Bleeker, 1851)
17	<i>Channa melanoptera</i> (Bleeker, 1855)	18	<i>Channa melasoma</i> (Bleeker, 1851)
19	<i>Channa microlepis</i> (Cuvier, 1831)	20	<i>Channa nox</i> Zhang, Musikasinthorn and Watanabe, 2002
21	<i>Channa ornatipinnis</i> Britz, 2007	22	<i>Channa orientalis</i> Schneider, 1801
23	<i>Channa panaw</i> Musikasinthorn, 1998	24	<i>Channa pleurophthama</i> (Bleeker, 1851)
25	<i>Channa punctata</i> (Bloch, 1793)	26	<i>Channa pulchra</i> Britz, 2007
27	<i>Channa stewartii</i> (Playfair, 1867)	28	<i>Channa striata</i> (Bloch, 1797)

(Courtenay and Williams 2004; Britz, 2007)

## 1.2 ชีววิทยานะประการของปลาสกุลปลาช่อน

### 1.2.1 นิเวศวิทยา (ecology)

ปลาสกุลปลาช่อนเป็นปลาที่สามารถอาศัยอยู่ในแหล่งอาชัยที่หลากหลาย เช่น ทะเลสาบ หนอง บึง อ่างเก็บน้ำ นาข้าว แม่น้ำ และลำคลอง มีเขตการแพร่กระจายอยู่ในเขตตื้นและเขตถักห้อง ลักษณะของแหล่งอาชัยที่อนุรักษ์สภาพตัวไว้ในแต่ละชนิด บางชนิดพบทั่วไปแต่บางชนิดพบเฉพาะในบางแหล่งอาชัยเท่านั้น (Moshin and Ambak, 1983; Lee and Ng, 1991; Kottelat, 1994; Kottelat, 2001; Courtenay and Williams, 2004) นอกจากนี้ ปลาสกุลปลาช่อนยังมีความสามารถทนทานต่อสภาพแวดล้อมที่รุนแรงได้ เช่น *C. argus* สามารถอาศัยอยู่ในแหล่งน้ำที่ปักคุณด้วยน้ำแข็ง (Okada, 1960) และ *C. melasoma* สามารถอาศัยอยู่ในแหล่งน้ำที่มีสภาพเป็นกรดเป็นกรด คือมีค่า pH ประมาณ 3.1 - 9.6 ได้ (Lee and Ng, 1994)

ปลาสกุลปลาช่อนเกือบทุกชนิดมีพฤติกรรมการออกหายใจในเวลากลางคืน โดยพิจารณาจาก การนำเข้าออกซิเจน (oxygen uptake) ตามจังหวะรอบวัน (circadian rhythm) เช่นใน *C. marulius* มีการนำเข้าออกซิเจนสูงสุดในเวลากลางคืน ส่วน *C. striata* และ *C. gachua* มีการนำเข้าออกซิเจนสูงสุดในช่วงหัวค่ำ และ *C. punctata* มีการนำเข้าออกซิเจนสูงสุดในช่วงเช้าก่อนค่ำ ความแตกต่างของช่วงจังหวะดังกล่าวเป็นการปรับตัวในระบบนิเวศเพื่อลดการแกงแย่งแข่งขันและการแบ่งปันทรัพยากรในแหล่งอาชัย (Mushin and Hughes, 1992)

ปลาสกุลปลาช่อนมีวิถีวนการเพื่อการหายใจโดยใช้อากาศโดยตรง (Lee and Ng, 1991; Berra, 2001) โดยมีช่องหนึ่งของเหือกช่วงในการแลกเปลี่ยนแก๊สกับอากาศโดยตรง และหัวใจห้องล่าง (ventral aorta) แบ่งเป็น 2 ส่วน เพื่อให้สามารถเกิดการแลกเปลี่ยนแก๊สได้สองแบบ (bimodal respiration) คือ การแลกเปลี่ยนแก๊สกับน้ำและการแลกเปลี่ยนแก๊สกับอากาศได้พร้อมกัน (Das and Saxena, 1956; Graham, 1997) ช่องหนึ่งของเหือกจะเริ่มทำงานเมื่อปลาอยู่ในช่วงปลาวยอ่อน (Graham, 1997; Courtenay and Williams, 2004) และในบางชนิดมีการหายใจโดยใช้อากาศโดยตรงเท่านั้น (obligate air-breather) เช่น *C. marulius* ในขณะที่เป็นปลาวยอ่อนมีการหายใจโดยการแลกเปลี่ยนแก๊สกับน้ำหรือใช้อากาศโดยตรงได้ (facultative air-breather) แต่เมื่อโตเต็มวัยมีการหายใจโดยใช้อากาศโดยตรงเท่านั้น (Wee, 1982)

ความสามารถในการหายใจโดยใช้อากาศได้โดยตรงทำให้ปลาสกุลปลาช่อนมีความสามารถในการอาศัยอยู่ในแหล่งน้ำมีปริมาณออกซิเจนต่ำได้ (Courtenay and Williams, 2004) นอกจากนี้ยังพบว่า หลาชชนิดมีชีวิตอยู่โดยไม่ต้องอยู่ในน้ำได้เป็นเวลานานเท่าที่ร่างกายยังมีความชุ่มชื้นอยู่ หรือหลาชชนิดโดยเฉพาะใน *C. striata* สามารถฟังตัวอยู่ในโคลนตลอดฤดูแล้งได้ (Smith, 1945) เนื่องจากบริเวณผิวน้ำมีเซลล์เมือก (mucous cell) ทำหน้าที่สร้างสารเมือกออกมานปักคุณร่างกาย สารเมือกดังกล่าวจะสร้างความชุ่มชื้น และทำให้เกิดการแลกเปลี่ยนแก๊สกับอากาศได้ (Mittal and Banerji, 1975; Wee, 1982; Lee and Ng, 1991)

นอกจากนี้ยังพบว่า ปลาสกุลปลาช่อนหลาชชนิดสามารถเคลื่อนที่บนพื้นดิน (overland migration) โดยอาศัยการเคลื่อนไหวแบบบิดตัว (wriggling motions) (Lee and Ng, 1991; Berra, 2001) ซึ่งยังไม่มีรายงานที่แน่ชัดเกี่ยวกับจำนวนชนิดที่สามารถเคลื่อนที่บนพื้นดินได้ แต่หลาชชนิดแสดงให้เห็นถึงพฤติกรรมนี้ (Lee and Ng, 1991; Courtenay and Williams, 2004) การเคลื่อนที่บนพื้นดินทำให้ปลาสามารถพยุงจากแหล่งอาชัยที่แห้งแล้งไปยังแหล่งน้ำอื่นที่อยู่ใกล้เคียงได้ ซึ่งอาจเป็นผลจากพฤติกรรมโดยกำเนิดในการตอบสนองต่อแหล่งน้ำและแหล่งอาหารที่ดีกว่า (Courtenay and Williams, 2004)

### 1.2.2 การกินอาหาร (feeding)

ปลาสกุลปลาช่อนที่อาศัยอยู่ในธรรมชาติเป็นสัตว์กินเนื้อ (carnivorous) โดยขณะที่เป็นปลาวยอ่อน (larva) จะกินสาหร่ายและแพลงก์ตอน เมื่อเดินโตเป็นลูกปลา (juvenile) จะกินพวยตัวอ่อนแมลงน้ำ สัตว์พวกกุ้งและปู (crustaceans) และลูกปลา (Jhingran, 1984; Conlu, 1986) และเมื่อโตเต็มวัยจะเป็นผู้ล่าที่แท้จริง โดยจะกินเฉพาะสัตว์ที่ขังมีชีวิตอยู่ อาหารที่กินค่อนข้างหลากหลาย ประกอบด้วย หนอน แมลง กุ้ง ปู ลูกปลา ปลาขนาดเล็ก ลูกกบ และลูกเต่า นอกจากนี้ยังพบว่ามีการกินพวยเดียวกัน (Mohsin and Ambak, 1983; Conlu, 1986; Lee and Ng, 1994) มีพฤติกรรมการล่าเหยื่อแบบเดียว (solitary) มีอาหารหลากหลายกินและล่าเหยื่อโดยการซุ่มโจมตี (ambush feeder) (Jhingran, 1984; Welcomme, 1985; Conlu, 1986; Mahan *et al.*, 1978; Lee and Ng, 1991; Munshi and Hughes, 1992; Dasgupta, 2000)

### 1.2.3 การสืบพันธุ์ (reproduction)

ปลาสกุลปลาช่อนเป็นปลาที่มีพฤติกรรมการสร้างรังเลี้ยงลูก (nest brooding) (Kottelat *et al.*, 1993) หลาภยชนิดสร้างรังโดยการทำความสะอาดผิวน้ำบริเวณที่จะวางไข่ให้เป็นวงกลม และมีการถักหอดีบัน้ำเป็นวงกลม ล้อมรอบบริเวณดังกล่าว เมื่อมองในแนวหน้าตัดจะเห็นเป็นรังที่ตรงกลาง โล่ง ด้านนอกล้อมรอบด้วยพืชน้ำ และบางครั้งอาจพบขึ้นส่วนของพืชน้ำปิดผิวน้ำบริเวณที่สร้างรังด้วย (Breder and Rosen, 1966; Ng and Lim, 1990; Courtenay and Williams, 2004)

ฤดูผสมพันธุ์ของปลาสกุลปลาช่อนแตกต่างกันในแต่ละชนิด ส่วนมากมีฤดูผสมพันธุ์อยู่ในช่วงเดือนมิถุนายนถึงเดือนสิงหาคม แต่ใน *C. striata* และ *C. punctata* พฤกษาจับคู่ผสมพันธุ์ตลอดทั้งปี (Courtenay and Williams, 2004) พฤติกรรมการจับคู่เป็นแบบผัวเดียวเมียเดียว (monogamy) หรืออย่างน้อยที่สุดจะมีการจับคู่แบบที่ละตัวที่บ้านในช่วงหนึ่ง (Okada, 1960) พฤติกรรมการจับคู่ผสมพันธุ์ของ *C. striata* เริ่มจากการที่ตัวผู้เกี้ยวพาราสีโดยการโอบรัด (encircling) และมีการผลักหรือดัน (nudging) ตัวเมีย จนนั้นเมื่อตัวเมียปล่อยไข่ ออกมา ตัวผู้จะเข้าไปคล่อหน้าเข้าผสมกับไข่ที่ลูกปล่อยออกมา (Yaakob and Ali, 1992) การเข้าคู่ผสมพันธุ์จะใช้เวลาประมาณ 15 – 45 นาที และไข่ที่ได้รับการผสมแล้วจะฟักเป็นตัวภายในเวลาประมาณ 24 – 48 ชั่วโมง หลังจากการปฏิสนธิ (Parameswaran and Murugesan, 1976)

ไข่ของปลาสกุลปลาช่อนเป็นไข่ลอย มีหยดน้ำมัน (oil droplet) ขนาดใหญ่ ทำให้ไข่มีสีเหลือง และลอยขึ้นสู่ผิวน้ำ lorsque กันเป็นแพคล้ายแผ่นฟิล์มนางอยู่ที่ผิวน้ำ ปลาสกุลปลาช่อนมีการทำหนกด้านขวาที่ดินอาศัย (territory) โดยเพศใดเพศหนึ่งหรือทั้งเพศผู้และเมียจะครอบครองไว้และเลี้ยงลูก ยกเว้น *C. gachua* และ *C. orientalis* ที่เพศผู้มีพฤติกรรมอมไข่ไว้ในปาก (mouth brooder) (Ng and Lim, 1990; Courtenay and Williams, 2004) และใน *C. micropeltes* ขังมีพฤติกรรมทำร้ายมนุษย์ที่รุกร้าวอาหารขาดด้วย (Kottelat *et al.*, 1993)

### 1.2.4 วัฏจักรชีวิต (life cycle)

การเจริญพัฒนาของปลาสกุลปลาช่อนแบ่งออกเป็น 5 ระยะ (jin tana โตชนา โภคฯ และคณะ, 2550; Yaakob and Ali, 1992) ซึ่งรายละเอียดของแต่ละช่วงอายุ มีดังนี้

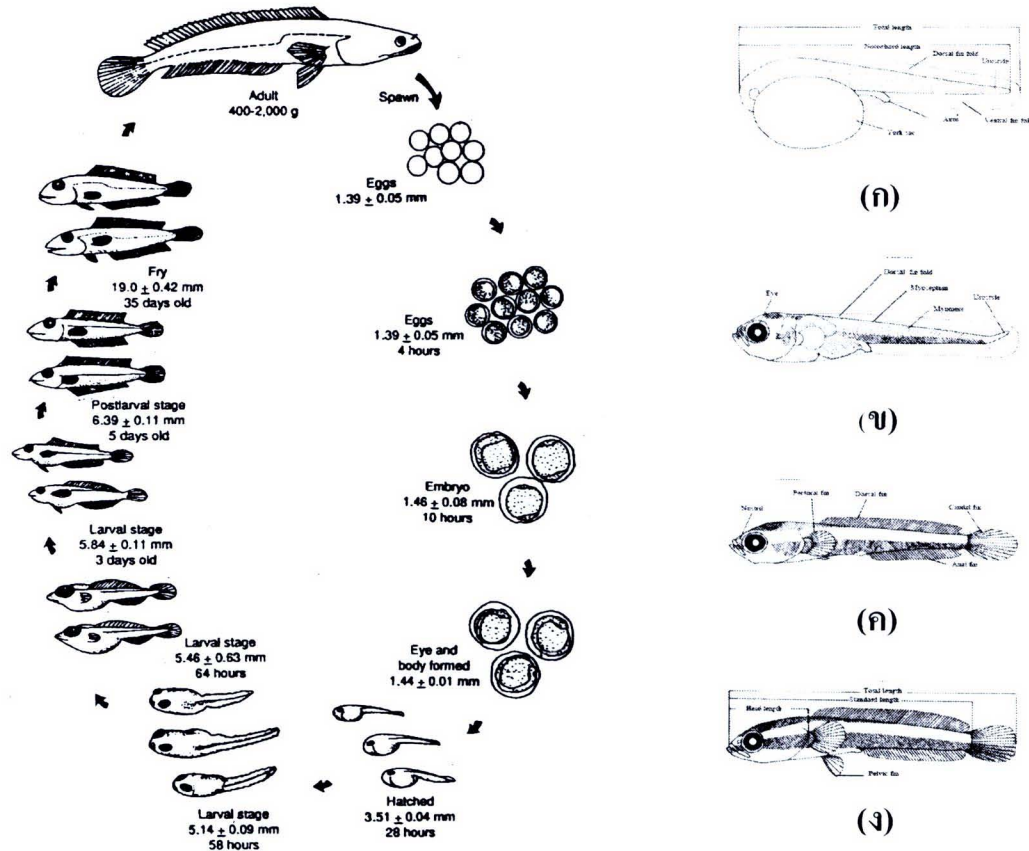
1) ลูกปลาวยอ่อนระยะที่ลูกอาหารสำรองยังปราภภูอยู่ (yolk sac stage) เริ่มตั้งแต่ลูกปลาแรกฟัก ใจซึ่งมีถุงอาหารสำรองปราภภูอยู่ และสิ่งสุดลงมีลูกปลาตุดูดซึ่งอาหารสำรองไปใช้จนหมด ระยะเวลาประมาณ 2 วัน (ภาพที่ 3ก)

2) ลูกปลาวัยอ่อนระยะแรก (pre larval stage) เริ่มตั้งแต่ระยะที่ลูกปลาดูดซึมอาหารสำรองไปใช้จนหมดจนกระทั่งกระดูกหางขึ้นสุดท้าย (urostyle) โดยก็จะขึ้นและมีการพัฒนาของกระดูกเสริมความแข็งแรงของหางเกิดขึ้น ระยะนี้มีอายุ 3-5 วัน (ภาพที่ 3x)

3) ลูกปลาวัยอ่อนระยะหลัง (post larval stage) เริ่มตั้งแต่ระยะที่กระดูกปลายหางโคลงขึ้น มีการพัฒนาของกระดูกเสริมความแข็งแรงเกิดขึ้นและมีการพัฒนาของอวัยวะต่างๆ ได้แก่ ก้านครีบหรือจุดสี จนถึงระยะที่ลูกปลาเมื่อการเปลี่ยนแปลงลักษณะภายนอกต่างๆ เหมือนปลาขนาดเล็ก ระยะนี้มีอายุ 7-23 วัน (ภาพที่ 3c)

4) ลูกปลาขนาดเล็ก (juvenile stage) เป็นระยะที่ปลาเมื่อวัยจะจากที่ลูกปลาวัยอ่อนมีการเปลี่ยนแปลงรูปร่างไปใหม่กับพ่อแม่ แต่ระบบสืบพันธุ์ยังไม่มีการพัฒนาขึ้นมา ระยะนี้เริ่มตั้งแต่อายุ 27 วัน จนถึงประมาณ 50 วัน (ภาพที่ 3g)

5) ปลาเต็มวัย (adult) เป็นระยะที่ปลาเมื่อวัยทุกอย่างครบสมบูรณ์ โดยเฉพาะระบบสืบพันธุ์ ที่มีการพัฒนาจนสามารถสืบพันธุ์ได้ และมีขนาดโดยกว่าลูกปลาขนาดเล็ก (ภาพที่ 4)



ภาพที่ 3 วัฏจักรชีวิตของปลาสกุลปลาช่อน (Yaakob and Ali, 1992) ภาพแรกแสดงลักษณะสัณฐานวิทยา โดยทั่วไปในระยะลูกปลาวัยอ่อนที่มีถุงอาหารสำรอง (ก) ลูกปลาวัยอ่อนระยะแรก (ข) ลูกปลาวัยอ่อนระยะหลัง (ค) และลูกปลาขนาดเล็ก (ง) (jinthana โต趁นะโภคฯ และคณะ, 2550)

### 1.3 ปลาสกุลปลาช่อนในประเทศไทย

จากรายงานของชวลดิต วิทยานนท์ (2544) และ Courtenay and Williams (2004) พบว่า มีปลาสกุลปลาช่อนในประเทศไทยจำนวน 7 ชนิด ดังนี้

#### 1.3.1 ปลาช่อน *Channa striata*

ลำตัวทรงกระบอกเรียวยาว ความยาวมาตรฐานอยู่ระหว่าง 20-50 เซนติเมตร (ชวลดิต วิทยานนท์, 2547) และพบมีความยาวได้ถึงมากกว่า 90 เซนติเมตร (Bardach *et al.*, 1972 cited in Courtenay and Williams, 2004) หัวแนบในแนวนอนล่าง (depressed) ตามีขนาดใหญ่ ปากกว้าง มุมปากยาวถึงตา ริมฝีปากล่างยื่นยาวกว่า ริมฝีปากบน ลำตัวด้านบนสีคล้ำอมเทาและออกหรือน้ำตาลอ่อน ท้องสีขาวด้านข้างลำตัวมีลายคำพาดเฉียง 6-7 เส้น (ชวลดิต วิทยานนท์, 2547) ไม่มีแผ่นเกล็ดบริเวณใต้คาง ขากรรไกรล่างมีฟันเขี้ยว 4-6 ซี่ และมีฟันซี่เล็ก ๆ บนกระดูกหน้าโวเมอร์และกระดูกเพดานปัก (Courtenay and Williams, 2004) ครีบทุกครีบไม่มีก้านครีบแข็ง ครีบหลังและครีบก้นยาวจนเกือบถึงโคนหาง ครีบหลังมีก้านครีบ 37-46 อัน ครีบก้นมีก้านครีบ 23-29 อัน ครีบอก มีขนาดใหญ่ ครีบท้องมีขนาดเล็ก ครีบหางกลม โคนครีบหางแนบข้างมาก เกล็ดบริเวณหัวมีขนาดใหญ่ และรวมกันเป็นแผ่นคล้ายลายดอกกุหลาบอยู่ระหว่างเบ้าตา เกล็ดตามเส้นข้างลำตัวมีจำนวน 49-55 เกล็ด (ชวลดิต วิทยานนท์, 2547; Courtenay and Williams, 2004)

#### 1.3.2 ปลาถัง *Channa gachua*

รูปร่างคล้ายปลาช่อน เมื่อโตเต็มที่มีขนาดประมาณ 17 เซนติเมตร (Kottelat, 1988; Courtenay and Williams, 2004) หัวกลมมน และมีขนาดสัมพัทธ์ของหัวมากกว่าความลึกลำตัว ลำตัวสีน้ำเงินอ่อนถึงสีน้ำเงินคล้ำ และมีลายประหรือจุดสีดำคล้ำ ท้องสีขาว โคนครีบอกมีลายเด็นเส้นสีคล้ำจำนวน 4-6 แฉบ ครีบหลัง ครีบก้น และครีบหางมีสีเทาหรือสีน้ำเงินเรื่อ ขอบมีสีส้ม (ชวลดิต วิทยานนท์, 2547; Lim *et al.*, 1990) ไม่มีแผ่นเกล็ดใต้คาง ขากรรไพรล่างมีฟันเขี้ยว 10-12 ซี่ ครีบหลังมีก้านครีบ 32-37 อัน ครีบก้นมีก้านครีบ 20-23 อัน เกล็ดตามเส้นข้างลำตัวมีจำนวน 39-47 เกล็ด (Courtenay and Williams, 2004)

#### 1.3.3 ปลากระสง *Channa lucius*

ลักษณะคล้ายปลาช่อน แต่ลำตัวป้อมกว่า ขนาดโตเต็มที่ประมาณ 40 เซนติเมตร (Courtenay and Williams, 2004) หัวและตาเล็ก หน้าปากเว้าลาด ปากกว้างและเรียวยงอนขึ้นเล็กน้อย ข้างแก้มมีแต้มสีคล้ำใหญ่ คุณลักษณะเด่นคือ ลำตัวด้านบนมีสีน้ำตาลอ่อนเหลืองหรือเขียวมะกอกคล้ำ และมีลายประดับคลอคลอ ท้องสีขาวและมีประสีคล้ำ ครีบสีคล้ำและมีจุดสีขาว (ชวลดิต วิทยานนท์, 2547) มีแผ่นเกล็ดใต้คาง มีฟันเขี้ยวขนาดใหญ่ที่กระดูกหน้าโวเมอร์และกระดูกเพดานปัก ครีบหลังมีก้านครีบ 38-41 อัน ครีบก้นมีก้านครีบ 27-29 อัน เกล็ดบริเวณเส้นข้างลำตัวมีจำนวน 58-65 เกล็ด ส่วนบริเวณระหว่างเส้นข้างตัวและฐานตอนหน้าของก้านครีบหลัง มีค่าเฉลี่ยเท่ากับ 5.5 เกล็ด (Ng and Lim, 1990; Courtenay and Williams, 2004)

#### 1.3.4 ปลากระโต *Channa micropeltes*

รูปร่างลำตัวค่อนข้างกลมยาว เมื่อโตเต็มที่มีขนาดถึง 100 เซนติเมตร และหนักมากกว่า 20 กิโลกรัม (Lee and Ng, 1991; Talwar and Jhingran, 1992; Courtenay and Williams, 2004) อาจมีขนาดยาวถึง 150 เซนติเมตร (Courtenay and Williams, 2004) หัวมีลักษณะแบบปากอยู่ด้านบน มีขนาดใหญ่และเอียงในแนวทแยง ไปจนถึงหลังลูกตา ตัวมีความหลากหลายและแบ่งผันตามช่วงอายุ ปลาที่ขนาดตัวโตมีพื้นลำตัวสีน้ำตาล

omnii ที่ข้ามมีลายประสีดำกระจายทั่วตัว เมื่อยังเป็นปลาขนาดเล็กมีสีลำตัวสีน้ำตาล และมีแถบสีดำ ส้ม และเหลืองพาดตามความยาวลำตัว 2 ถนน บริเวณหางสีแดงสด เมื่อเริ่มโตขึ้น สีและลายจะเริ่มงาจากหางไปกลางเป็นสีเขียวอมน้ำตาลคล้ายสีของปีกแมลงปุ่ง (ชวิตติ วิทยานนท์, 2547; Courtenay and Williams, 2004) มีแผ่นเกล็ดใต้คางขากรรไกรล่างมีฟันเขี้ยวจำนวนมาก และพบฟันเขี้ยวบนคาดใหญ่ที่กระดูกหน้าโวเมอร์และกระดูกเพดานปากครึ่งหลังมีก้านครึ่ง 43 - 35 อัน ครึ่งก้านมีก้านครึ่ง 27 - 30 อัน ครึ่งหางรูปร่างกลม ครึ่งท้องมีขนาดเล็กกว่าประมาณครึ่งหนึ่งของครึ่งอก ลักษณะเฉพาะของปลาชนิดนี้คือเกล็ดมีขนาดเล็กกว่าชนิดอื่น (ชวิตติ วิทยานนท์, 2547; Talwar and Jhingran, 1992; Courtenay and Williams, 2004)

### 1.3.5 ปลาช่อนงูเห่า *Channa marulius*

ลำตัวเรียวยาวรูปทรงกระบอกคล้ายปลาช่อน แต่มีหัวเล็กและแบนกว่าชนิดอื่น ขนาดโดยเดิมที่ประมาณ 120 – 122 เซนติเมตร (Talwar and Jhingran, 1992) ปักดิพื้นลำตัวจะเป็นสีคล้ำ เช่น น้ำตาลแกรมเขียวหรือสีดำ มีเกล็ดสีดำขอบขาววงตัวสลับกับเกล็ดทั่วไป เมื่อยังเป็นลูกปลาจะมีแถบสีส้มคาดตามความยาวจากหัวจรดโคนหาง โดยที่มีแถบดำราوا 5 - 6 แถบ คาดขาวงำตัวส่วนที่อยู่ก่อนไปทางท้าย ได้ท้องสีจาง ลำตัวด้านท้ายครึ่งหลัง ครึ่งหาง และครึ่งท้องจะมีจุดสีตะกั่วเหลืองแวดล้อมรอบอยู่ทั่ว อยู่บริเวณน้ำและล่างของเส้นข้างลำตัว บริเวณโคนหางมีจุดสีดำล้อมรอบด้วยวงสีส้มสุดคล้ายเครื่องหมายดอกจัน การที่มีรูปร่างเรียวยาวและมีหัวที่เล็กทำให้ดูคล้ายงูเห่า จึงเป็นที่มาของชื่อ "ปลาช่อนงูเห่า" (ชวิตติ วิทยานนท์, 2547) เกล็ดบริเวณหัวด้านบนมีขนาดปานกลางและเรียงตัวเป็นแผ่นคล้ายดอกกุหลาบ ไม่มีแผ่นเกล็ดใต้คาง ขากรรไกรล่างมีฟันเขี้ยวจำนวนมาก 7-18 ชี แต่ไม่พบที่กระดูกเพดานปาก ครึ่งหลังมีก้านครึ่งจำนวน 45 -55 ก้าน ครึ่งก้านมีก้านครึ่ง 28 - 36 ก้าน เกล็ดบริเวณเส้นข้างด้านมีจำนวน 60 - 70 เกล็ด (Talwar and Jhingran, 1992; Courtenay and Williams, 2004)

### 1.3.6 ปลาช่อนข้าหหลวง *Channa maruliooides*

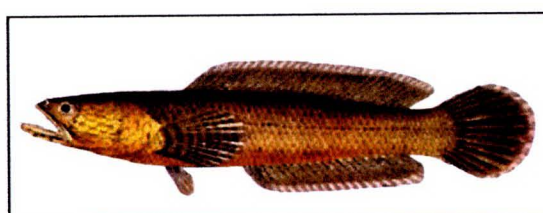
ลักษณะคล้ายปลาช่อนงูเห่า แต่ลำตัวสั้นป้อมกว่า เมื่อโตเต็มที่มีความยาวประมาณ 90 เซนติเมตร ลำตัวสีเขียวอ่อน และมีลายสีเหลืองของอมส้มสลับกับແล้มสีดำ ครึ่งมีจุดประสีเหลืองสด ห้องสีจาง ในประเทศไทยพบเฉพาะภาคใต้เท่านั้น (ชวิตติ วิทยานนท์, 2547) ไม่มีแผ่นเกล็ดบริเวณใต้คาง ไม่มีฟันเขี้ยวที่บริเวณกระดูกหน้าโวเมอร์และกระดูกเพดานปาก ครึ่งหลังมีก้านครึ่งจำนวน 45-47 อัน ครึ่งก้านมีก้านครึ่ง 30-31 อัน เกล็ดบริเวณเส้นข้างด้านมีจำนวน 55-58 เกล็ด (Kottelat et al., 1993; Courtenay and Williams, 2004)

### 1.3.7 ปลาช่อนพรุ *Channa metasoma*

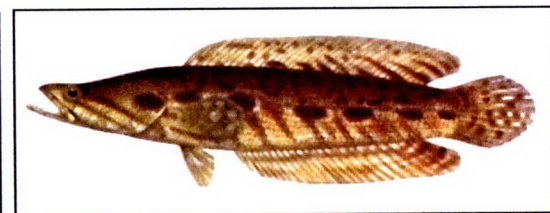
ลักษณะคล้ายปลาช่อน แต่ลำตัวพอเพรียกว่า ขนาดโดยเดิมที่ประมาณ 35 เซนติเมตร (Inger and Kong, 1962) หัวโต ลำตัวสีเขียวอมม่วง ตามด้วยไม่มีลวดลาย ไม่มีแผ่นเกล็ดที่คาง ครึ่งห้อง ครึ่งหาง และครึ่งหลังมีสีคล้ำ และมีขลิบขาวที่ครึ่งห้อง ครึ่งหลังมีก้านครึ่ง 37 - 40 ก้าน ครึ่งก้านมีก้านครึ่ง 22 - 25 ก้าน เกล็ดตามแนวเส้นข้างด้านมีจำนวน 50 - 54 เกล็ด ในประเทศไทยพบเฉพาะบริเวณป่าพรุ โถะแಡง จังหวัดนราธิวาส เท่านั้น (ชวิตติ วิทยานนท์, 2547; Courtenay and Williams, 2004)



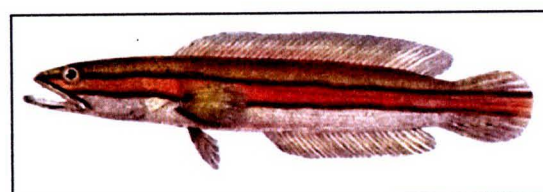
(ก)



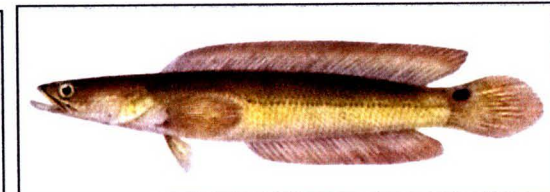
(ก)



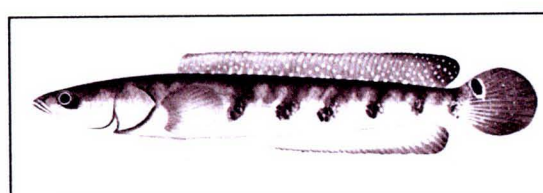
(ก)



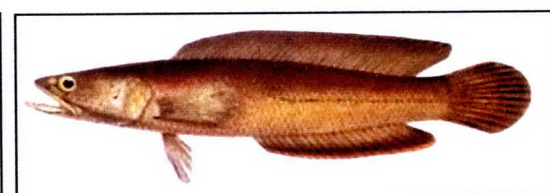
(ก)



(ก)



(ก)



(ก)

ภาพที่ 4 ลักษณะสัณฐานวิทยาภานอกของปลาสกุลปลาช่อนที่พบในประเทศไทย ได้แก่ *C. striata* (ก)  
*C. gachua* (ก) *C. lucius* (ก) *C. micropeltes* (ก) *C. marulius* (ก) *C. marulioides* (ก) และ *C. melasoma* (ก)  
(Courtenay and Williams, 2004)

สำนักงานคณะกรรมการวิจัยแห่งชาติ
ห้องสมุดงานวิจัย
วันที่.....
เลขทะเบียน.....
เลขเรียกหนังสือ.....

25 กค 2555  
247961

ตารางที่ 2 ลักษณะทาง生態ของปลาสกุลปลาช่อนแต่ละชนิดที่พบในน้ำธรรมชาติไทย

ชนิด ลักษณะ	ปลาห่อน <i>C. striata</i>	ปลาท้าง <i>C. gachua</i>	ปลากระสัง <sup>๑</sup> <i>C. lucius</i>	ปลาช่อนช่าห่า <sup>๒</sup> <i>C. murilius</i>	ปลาจิ้วโคด <i>C. micropterus</i>	ปลาช่อนน้ำหลวง <i>C. marlioides</i>	ปลาช่อนพู่ <i>C. melasoma</i>
รูปร่าง	ทรงกระบอกเรียวขวาง แต่ตัวยาวอนحن้า ค่อนข้างแบนในแนว บนต่างกว่าแนว แนวนอน	คดมนตรายอ่อน แต่ตัวยาวกว่า ค่อนข้างหนา	คดมนตรายอ่อน แต่ตัวยาวกว่า และ ตัวหอยหนานมี	ทรงกระบอกคดมนตราย บลาง	ทรงกระบอกและ กลมยาวมากกว่า	คดมนตรายอ่อนและ ตัวหอยหนานมี	คดมนตรายกว่า แต่หอยหนานมี
แบบร่าง	สีคล้ำอมเขียวมะกอก หรือ สีน้ำตาลอ่อน ตัวหลังสีเข้ม	น้ำเงินอ่อนหรือ น้ำเงินคล้ำ มีลายประดับหรือจุดสี ดำคล้ำตามตัว	ลำตัวเล็กหนังสัก สีน้ำตาลอ่อนหรือสีขาว หรือปิยามะอกคล้ำ	ลำตัวเล็กประดับ ด้วยสีขาวตามตัว	ลำตัวเล็กน้ำตาล มีเด่นตัวตามตาม ห้องสีขาว	ลำตัวใหญ่กว่าปลาช่อน และมีสีขาวตามตัวตาม ห้องสีขาว	ลำตัวยาวกว่า และมีสีขาวตามตัวตาม ห้องสีขาว
ลักษณะสีสัมผัส	ด้านหลังสีเข้ม ด้านหน้าสีขาว	ด้านหลังสีขาว ด้านหน้าสีขาว	ด้านหลังสีขาว ด้านหน้าสีขาว	ด้านหลังสีขาว ด้านหน้าสีขาว	ด้านหลังสีขาว ด้านหน้าสีขาว	ด้านหลังสีขาว ด้านหน้าสีขาว	ด้านหลังสีขาว ด้านหน้าสีขาว

ตารางที่ 2 ตัวอย่างทางเดินรากในวิถีทางของปลาตุบปลากะช่อนและชนิดที่พบในประเทศไทย (ต่อ)

ลักษณะ	ชนิด <i>C. striata</i>	ปลาช่อง <i>C. gachua</i>	ปลากระดิ้ง <i>C. lucius</i>	ปลาช่อนหมูห่า <i>C. murulus</i>	ปลาชอด <i>C. micropeltes</i>	ปลาช่อนเข้าห้อง <i>C. marulioides</i>	ปลาช่อนพุก <i>C. melasoma</i>
ความยาว มาตรฐาน	อาจยาวถึง 90 cm	17 cm	40 cm	120 - 122 cm อาจยาวถึง 180 cm	100 - 150 cm	90 cm	35 cm
รูปร่างหัว	แบบในหน่วยน้ำด่าง	กลมมน	หัวแหลมและตานขนาดเล็ก หน้าผากกว้างสาด	เต็กลึก แบบกว้างชนิดอื่น	แบบในหน่วยน้ำด่าง	แบบในหน่วยน้ำด่าง	หัวตื้น แบบในหน่วยน้ำด่าง
แผ่นเกล็ด บริเวณหัว	ยุบติดใหญ่ เรียงตัวคล้ายก้านใบ	ขนาดปานกลาง ไม่ ตัวตักทึบกัน	ขนาดเล็ก ไม่เรียง ตัวตักทึบกัน	ขนาดปานกลาง เรียงตัวคล้ายก้านใบ	ขนาดเล็ก ไม่เรียง ตัวตักทึบกัน	ขนาดใหญ่ ไม่เรียง ตัวตักทึบกัน	ขนาดใหญ่ ไม่เรียง ตัวตักทึบกัน
แผ่นเกล็ดตัวกลาง	ไม่มี	ไม่มี	ไม่มี	ไม่มี	ไม่มี	ไม่มี	ไม่มี
จำนวนเกล็ด	49-57	39-47	58-65	60-70	83-94	55-58	50-54
บริเวณส่วนข้างลำตัว นากรรากร่อง	4-6 ซ.	10-12 หรือ อาจยาวถึง 20 ซ.	-	-	7-18	ขนาดใหญ่ จำนวนมาก	-
พื้นที่เยื่อบริเวณ กระดูกหน้าโวโมร์	ซี่สัก ๆ จำนวนมาก	-	ขนาดใหญ่	ไม่มี	ขนาดใหญ่	ไม่มี	-
พื้นที่เยื่อบริเวณ กระดูกเพดานปาก	ซี่สัก ๆ จำนวนมาก	-	ขนาดใหญ่	ไม่มี	ขนาดใหญ่	ไม่มี	-

ตารางที่ 2 ลักษณะทาง生態ร้านวิทยาของปลาตุ่นค่าห้องแผนต์ชนิดพื้นเมืองไทย (ต่อ)

ลักษณะ	ชนิด <i>C. striata</i>	ปลาชนิด <i>C. gachua</i>	ปลากรัง <i>C. lucius</i>	ปลาช่อนมูหะ <i>C. murulus</i>	ปลาชีฟูดี้ <i>C. micropeltes</i>	ปลาช่อนขาว <i>C. mawiioides</i>	ปลาช่อนพะ <i>C. metasoma</i>
จำนวน ก้านครีบหลัง	37-46	32-37	38-41	45-55	43-45	45-47	37-40
จำนวน ก้านครีบหัก	23-29	20-23	27-29	28-36	27-30	30-31	22-25
ขนาดตัวเม็ดยาดា พอดีสูง 6-7 เส้น	ช่วงตัวเม็ดยาดា เริ่มรือ ขอบเม็ดสัม	ครีบตัวเม็ดยาดា ยาวๆ ตุดๆ ยกด้วงตัว	ช่วงกัดตัวเม็ดยาดា ยาวๆ กัดกันเป็นเกล็ด	เกร็จก์ขนาดเล็กกว่า หัวไปอยู่บริเวณบน แต่ตัวเม็ดยาด้า	ครีบปีกขนาดเล็กกว่า หันด้าน	ครีบปีกตุดประทัดดอง ตด	ครีบปีกตุดยาว ชิบขาวที่ครีบหัก
ลักษณะอื่นๆ	ตาใหญ่ตื้นตื้น 4-6 มาบ	โคนครีบยก ตาใหญ่ตื้นตื้น 4-6 มาบ	ครีบตื้นตื้น และนิ่งๆ จราจล	ลักษณะตัวอ่อนท้าย ครีบหลัง ครีบหาง และครีบท้องมีจุดสี ตระหง่านจะอยู่ท่า บริเวณโคนหางมีตุด ตัวเล็กอยู่บนตัวหาง ตื้นตันติดตัวหาง	ลักษณะตัวอ่อนท้าย ครีบหลัง ครีบหาง และครีบท้องมีจุดสี ตระหง่านจะอยู่ท่า บริเวณโคนหางมีตุด ตัวเล็กอยู่บนตัวหาง ตื้นตันติดตัวหาง	ครีบหางมีตุดหัก	ครีบหางมีตุดหัก

หมายเหตุ: 1.ครีบหางมีตุด (-) หมายถึง ไม่มีข้อมูลของตัวอย่างนั้นค้างคาว  
หมายเหตุ: 1.ครีบหางมีตุด (-) หมายถึง ไม่มีข้อมูลของตัวอย่างนั้นค้างคาว

## 2. หลักการเบื้องต้นของการศึกษาทางมอร์โฟเมทริกส์

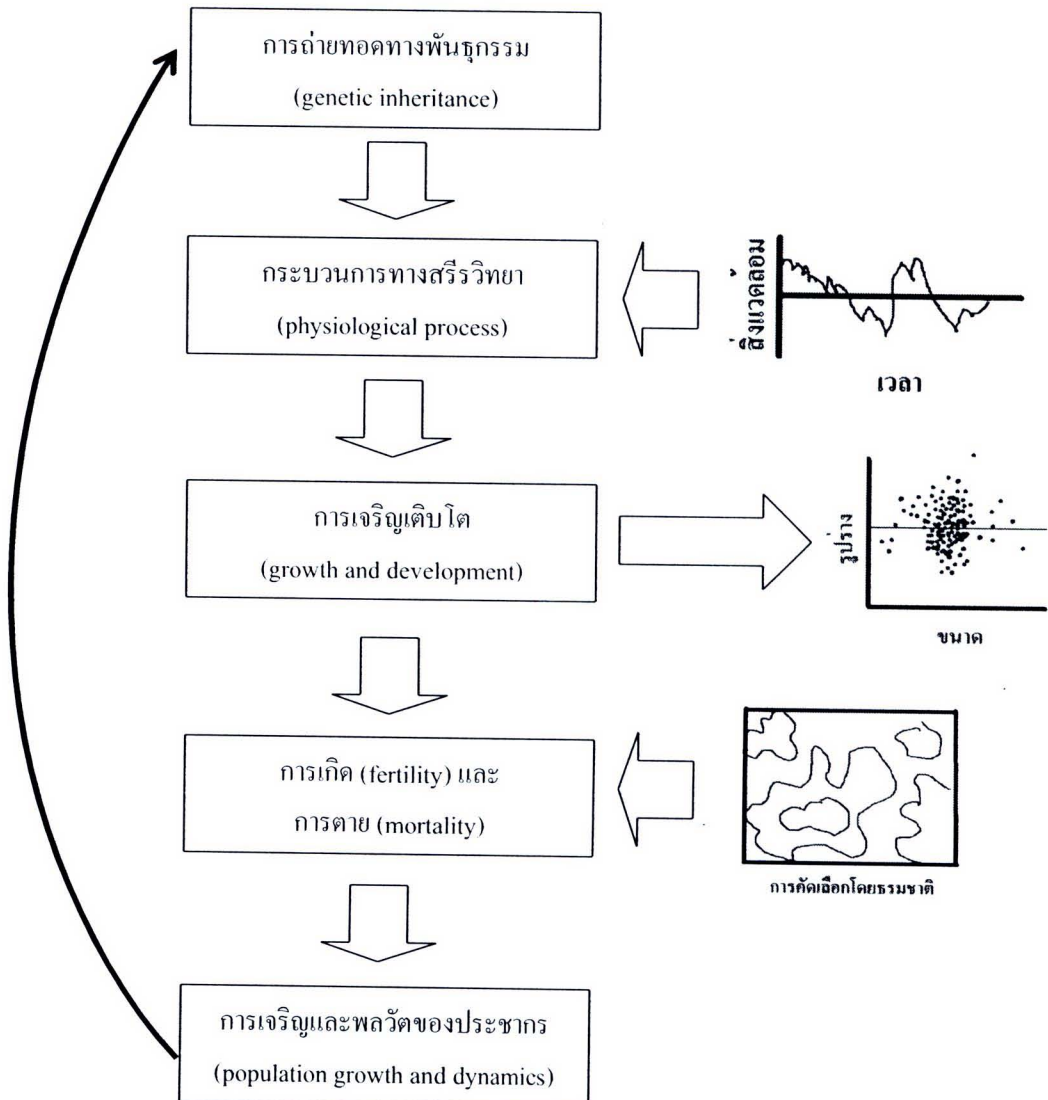
มอร์โฟเมทริกส์ (morphometrics) คือ วิธีการศึกษาเกี่ยวกับความแปรผันและการเปลี่ยนแปลงของรูปแบบทางสัณฐานวิทยา (morphological form) ซึ่งเป็นคุณสมบัติที่อธินาขีดขนาด (size) และรูปทรง (shape) ของสิ่งมีชีวิต (Bookstein, 1982; Rohlf and Marcus; 1993; Cadrian, 2000; Webster, 2006) รวมถึงลักษณะโครงสร้าง (structure) เช่น แบบรูป (pattern) พื้นผิว (texture) สี (color) และทิศทางเชิงปริภูมิ (spatial orientation) (Lastrel, 2000) โดยอธินาขีดและเปรียบเทียบในลักษณะการบรรยายเชิงปริมาณ (quantitative description) ด้วยหลักการและวิธีการทางคณิตศาสตร์และการวิเคราะห์ผลทางสถิติ (Rohlf and Marcus; 1993; Roth and Mercer, 2000; Lastrel, 2000)

การประยุกต์ใช้การวิเคราะห์ทางมอร์โฟเมทริกส์ (morphometric analysis) ในการศึกษาความแปรผันและความแตกต่างทางสัณฐานวิทยาอาศัยหลักการที่ว่า ความแปรผันของการเติบโต (growth) การเจริญ (development) และการเจริญเติบโต (maturation) มีผลทำให้เกิดความแปรผันและความแตกต่างทางสัณฐานวิทยาภายในชนิดโดยเกิดจากอิทธิพลของปัจจัยทางพันธุกรรม สิ่งแวดล้อม และการคัดเลือกโดยธรรมชาติ (Alberch *et al.*, 1979; Wimberger, 1992; Robinson and Wilson, 1996; Cadrian, 2000) สิ่งมีชีวิตแต่ละตัวจะมีลักษณะทางพันธุกรรมที่เฉพาะตัว ปัจจัยความแตกต่างทางพันธุกรรมจะส่งผลต่อกระบวนการทางสรีรวิทยาของสิ่งมีชีวิตแต่ละตัว โดยมีปัจจัยของสิ่งแวดล้อมเข้ามามีส่วนร่วมด้วย กลไกทางสรีรวิทยาดังกล่าวจะมีผลต่อการเจริญเติบโต โดยลักษณะหนึ่งที่เป็นผลของการกระบวนการเจริญเติบโต คือ ความแตกต่างของขนาดและรูปทรง ซึ่งเป็นคุณสมบัติทางมอร์โฟเมทริกส์ของสิ่งมีชีวิตที่จะตอบสนองต่อแรงผลักดันจากการคัดเลือกตามธรรมชาติ สิ่งมีชีวิตตัวที่มีลักษณะที่สอดคล้องเหมาะสมกับสิ่งแวดล้อมในช่วงเวลาหนึ่งจะมีชีวิตродและสามารถสืบพันธุ์เพื่อถ่ายทอดลักษณะทางพันธุกรรมไปยังรุ่นต่อไป (Alberch *et al.*, 1979; Cadrian, 2000) ดังสรุปในภาพที่ 5

อิทธิพลร่วมของปัจจัยทางพันธุกรรม สิ่งแวดล้อม และการคัดเลือกโดยธรรมชาติทำให้เกิดรูปแบบความแปรพันทางสัณฐานวิทยาของสิ่งมีชีวิต 2 แบบ (Levins, 1968; Conover and Schiltz, 1995; Marcil *et al.*, 2006) คือ ความแปรผันแบบร่วมกัน (cogradient variation) และ ความแปรผันแบบสวนทาง (countergradient variation)

ความแปรผันแบบร่วมกันเป็นผลจากการคัดเลือกแบบหลากหลาย (diversifying selection) และปัจจัยทางพันธุกรรมมีผลเสริมแรง (reinforce) ปัจจัยความแตกต่างทางสิ่งแวดล้อม (Levins, 1968; Berven *et al.*, 1979; Parson, 1997; Marcil *et al.*, 2006) ทำให้สิ่งมีชีวิตชนิดเดียวกันที่อาศัยอยู่ในแหล่งอาศัยเดียวกันมีความแปรผันทางสัณฐานวิทยาที่ต่างกัน (Marcil *et al.*, 2006) โดยความแตกต่างดังกล่าวอาจเป็นผลมาจากการความแตกต่างทางพันธุกรรมเพียงอย่างเดียว (McPhail, 1992; Hatfield, 1997) หรือความแตกต่างของสิ่งแวดล้อมเพียงอย่างเดียว (Schluter, 1993; Day and McPhail, 1996) หรืออิทธิพลร่วมกันระหว่างปัจจัยทางพันธุกรรมและสิ่งแวดล้อม (Wimberger, 1992; Robinson and Wilson, 1996)

ความแปรผันแบบสวนทางเป็นผลจากการคัดเลือกโดยธรรมชาติแบบเสถียร (stabilizing selection) และปัจจัยทางพันธุกรรมมีผลต้านทาน (counteract) ปัจจัยความแตกต่างของสิ่งแวดล้อม ทำให้ความแปรผันทางสัณฐานวิทยาลดลง (Berven *et al.*, 1979; Parson, 1997) แต่ทั้งนี้ สิ่งมีชีวิตจะมีความแตกต่างกันในระดับสรีรวิทยาหรือในระดับของฟังก์ชันชีวประวัติ เช่น อัตราการเจริญเติบโต อัตราการเกิด และอัตราการตาย (Conover and Present, 1990; Arendt and Wilson, 1999; Trusel, 2002, Kokita, 2004)



**ภาพที่ 5** แผนภาพแสดงปฏิสัมพันธ์ร่วมกันของปัจจัยทางพันธุกรรม สิ่งแวดล้อม และการตัดเลือกโดยธรรมชาติ ที่มีผลต่อความแปรผันทางมอร์ฟิเมทริกส์ของสิ่งมีชีวิต (ดัดแปลงจาก Cadri, 2000)

วิธีการศึกษาทางมอร์โฟเมทริกส์มีหลายเทคนิคและวิธีการเขียนกับวัสดุประสงค์ในการศึกษา ซึ่งแต่ละวิธี มีหลักเกณฑ์ (criteria) แตกต่างกัน แต่วิธีที่นิยมใช้ในการศึกษาความแปรผันและความแตกต่างทางสัณฐานวิทยา ของสิ่งมีชีวิตและใช้ในการศึกษารังนี้ คือ วิธีการมอร์โฟเมทริกเชิงพหุแบบเทคนิคระบบเครือข่ายโครงร่าง (TNS) และวิธีการมอร์โฟเมทริกส์เชิงเรขาคณิตแบบเทคนิคการวิเคราะห์เชิงเพลทส์ไปล์น (TPS) ซึ่งรายละเอียดเบื้องต้น ของแต่ละวิธี มีดังนี้

## 2.1 มอร์โฟเมทริกส์เชิงพหุ (multivariate morphometrics)

มอร์โฟเมทริกส์เชิงพหุหรือมอร์โฟเมทริกส์แบบดั้งเดิม (traditional morphometrics) คือ การศึกษาทาง มอร์โฟเมทริกส์ที่อธิบาย เปรียบเทียบ และแสดงให้เห็นถึงลักษณะและรูปแบบ ตลอดจนความแปรผันและ ความแตกต่างทางสัณฐานวิทยาโดยใช้หลักการสถิติเชิงพหุ (multivariate statistics) โดยกำหนดให้ลักษณะที่สนใจ อยู่ในรูปของตัวแปรทางสถิติ (statistical variables) ตัวแปรดังกล่าวได้มาจากการวัดค่า (measure) ของลักษณะทาง สัณฐานวิทยาจากตัวอย่าง (Rohlf and Marcus; 1993; Roth and Mercer, 2000; Lastel, 2006) ดังนั้นข้อมูลที่ใช้ใน วิธีการมอร์โฟเมทริกส์เชิงพหุจึงเป็นข้อมูลต่อเนื่อง (continuous data) ได้แก่ ข้อมูลระยะทาง (distance) มุม (angle) หรืออัตราส่วน (ratio) (Bookstein, 1982; Rohf and Marcus; 1993; Turan, 1999) ผลของการศึกษาด้วยวิธี มอร์โฟเมทริกส์เชิงพหุจะอยู่ในรูปเชิงจำนวนหรือแผนภาพที่เกิดจากผลรวมเชิงเส้น (linear combination) ของตัวแปรที่ได้จากการวัด (Rohf and Marcus; 1993)

ขั้นตอนของการศึกษาด้วยวิธีมอร์โฟเมทริกส์เชิงพหุประกอบด้วย การนำเข้าข้อมูล (data acquisition) การแปลงค่าข้อมูล (data transformation) และการวิเคราะห์ผลทางสถิติ (statistical analysis) โดยรายละเอียด ของแต่ละขั้นตอน มีดังนี้

### 2.1.1 การนำเข้าข้อมูล (data acquisition)

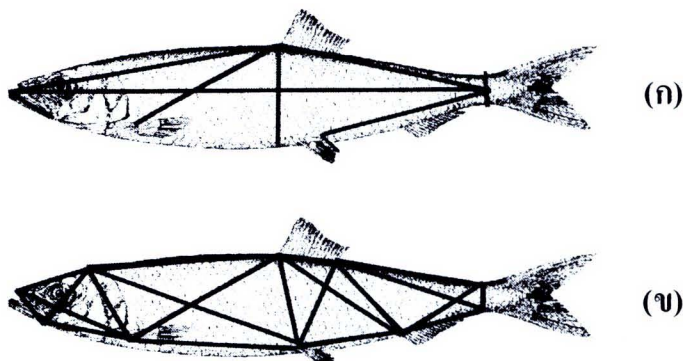
เทคนิคในการนำเข้าข้อมูลแบ่งออกเป็น 2 แบบ ได้แก่

#### 1) การวัดแบบดั้งเดิม (traditional measurement)

การวัดแบบดั้งเดิมเป็นการวัดค่าที่อ้างอิงบนระบบแนวแกนร่างกาย (body-axis plane) ของตัวอย่าง และเป็นการวัดค่าจากบริเวณส่วนหัวของตัวอย่างเป็นส่วนมาก (Bookstein, 1982; Turan, 1999) ข้อมูลที่นำเข้าสำหรับการศึกษาทางมอร์โฟเมทริกส์ของปลาได้จากค่าการวัดในแนวที่สัมพันธ์กับความยาวหรือ ความลึกของลำตัว นอกจากนี้ยังพบว่า บางตำแหน่งของตัวอย่าง โดยเฉพาะตำแหน่งหน้าสุดของปาก และ ตำแหน่งสิ้นสุดของกระดูกสันหลัง ถูกใช้เป็นจุดศูนย์กลางเริ่มต้นของการวัดค่าซ้ำ (Turan, 1999; Cadrian, 2000) ดังแสดงในภาพที่ 6 นอกจากนี้การวัดแบบดั้งเดิมเป็นการวัดที่ไม่ครอบคลุมทั่วทั้งรูปร่างของตัวอย่าง ทำให้ ข้อมูลที่สำคัญบางส่วนขาดหายไป (Bookstein, 1982; Struss and Bookstein, 1982; Turan, 1999) การคัดเลือก ลักษณะที่สามารถอธิบายความแปรผันทางสัณฐานวิทยายังขึ้นอยู่กับโอกาสและความน่าจะเป็นทางสถิติ (Bookstein, 1982) ดังนั้นถ้าข้อมูลที่นำเข้าในการศึกษามีความสัมพันธ์กับทิศทางหลักของความแตกต่างของ รูปร่าง (principal directions of shape differences) ผลการวิเคราะห์ทางสถิติจะไม่สามารถอธิบายความแปรผันทาง สัณฐานวิทยาของตัวอย่างได้หรืออธิบายได้ไม่สมบูรณ์ (Struss and Bookstein, 1982; Turan, 1999; Cadrian, 2000)

## 2) ระบบเครือข่ายโครงยึด (truss network system)

วิธีการวัดแบบระบบเครือข่ายโครงยึด (TNS) ถูกพัฒนาขึ้นโดย Struss and Bookstein (1982) หลักการของวิธีการนี้คือ การกำหนดจุดกำหนด (landmark) ซึ่งเป็นจุดที่สังเกตได้ง่ายและเป็นจุดเดียวกันในทุกตัวอย่าง (homologous point) แล้วสร้างเส้นตรงเชื่อมไประหว่างจุดกำหนดให้กลายเป็นเส้นทางสำาหรับกัน อย่างเป็นระเบียบ (uniform network) คุณทั่วตัวป้ำดังแสดงในภาพที่ 6 จากนั้นวัดค่าความยาวของเส้นตรงแต่ละเส้น โดยถือว่าความยาวของเส้นตรงแต่ละเส้นคือตัวแปรลักษณะทางสัณฐานวิทยาแต่ละตัว ซึ่งในทางทฤษฎี ค่าการวัดที่ได้จากการวัดที่คุณทั่วๆ ไปร่วมของตัวอย่างจะทำให้ความเป็นไปได้ของการอธิบายและแยกแยะ ความแตกต่างทางmorphology ที่มีอยู่ในระดับภายในชนิดและระหว่างชนิดเพิ่มสูงขึ้นกว่าการใช้ข้อมูลจากการวัดแบบดั้งเดิม (Bookstein, 1982; Struss and Bookstein, 1982; Turan, 1999; Cadrin, 2000)



ภาพที่ 6 ภาพเปรียบเทียบการวัดค่าแบบดั้งเดิม (a) และการวัดค่าแบบวิธีระบบเครือข่ายโครงยึด (b)  
(ดัดแปลงจาก Cadrin, 2000)

### 2.1.2 การแปลงค่าข้อมูล (data transformation)

รูปแบบการเติบโตของสัมมชีวิตแบ่งออกเป็น 2 แบบ คือ การเติบโตแบบไอโซเมทริก (isometric growth) ซึ่งเป็นการเติบโตที่โครงสร้างหรืออวัยวะของสัมมชีวิตมีอัตราการเติบโต (growth rate) เท่ากันและคงที่ ตลอดอายุขัย และการเติบโตแบบอลโลเมทริก (allometric growth) ซึ่งเป็นการเติบโตที่โครงสร้างหรืออวัยวะของสัมมชีวิตมีอัตราการเติบโตที่ไม่เท่ากันและแตกต่างกันในแต่ละช่วงของอายุขัย (Rohlf and Bookstein, 1987; Turan, 1999; Cadrin, 2000; McCoy *et al.*, 2006) นอกจากนี้ เนื่องจากข้อมูลในการศึกษาด้วยวิธีมอร์ฟอย์มทริกส์ เชิงพหุค่าที่วัดจากตัวอย่างโดยตรง ซึ่งมีความสัมพันธ์กับขนาดร่างกาย (body size) ของตัวอย่าง หากตัวอย่างมีร่างกายขนาดใหญ่ค่าที่วัดได้จะมีค่ามาก ในขณะที่หากตัวอย่างมีร่างกายขนาดเล็กค่าที่วัดได้จะมีค่าน้อย ทำให้ข้อมูลมีความแปรผันที่เกิดจากอิทธิพลของขนาดร่างกาย (size-dependent variation) ไม่ใช่ข้อมูลที่อธิบายถึงความแปรผันของรูปร่าง (shape variation) อย่างแท้จริง จึงต้องกำจัดอิทธิพลของขนาดร่างกายออกไปจากข้อมูลก่อนที่จะทำการวิเคราะห์ผล (Rohlf and Bookstein, 1987; Turan, 1999; Cadrin, 2000) ซึ่งวิธีการกำจัดความแปรผันที่เกิดจากอิทธิพลของขนาดถูกพัฒนาขึ้นหลายวิธี แต่โดยสรุปแบ่งออกเป็น 3 วิธีหลัก ดังนี้

### 1) วิธีแปลงค่าอัตราส่วน (ratio transformation)

การแปลงค่าอัตราส่วน กือ การแปลงค่าข้อมูลที่ได้จากการวัดโดยเทียบกับสัดส่วนขนาดร่างกายของตัวอย่าง ค่าที่นิยมใช้เป็นตัวเบร์บันเทียบกือค่าความยาวมาตรฐาน (standard length, SL) ซึ่งมีความสัมพันธ์กับค่าจากการวัดทุกด้าน (Reist, 1985; Turan, 1999) หรืออาจแปลงค่าในรูปลอการิทึมของอัตราส่วน (logarithm of ratio) ซึ่งจะทำให้ข้อมูลมีการกระจายแนวปกติอิกด้วย (Reist, 1985) สำหรับสมการที่ใช้ในการแปลงข้อมูลด้วยวิธีแปลงค่าอัตราส่วนแสดงในสมการที่ 1 และ 2 (Turan, 1999)

$$M_{adj} = \frac{M}{SL} \quad (1)$$

$$M_{adj} = \frac{\log(M)}{\log(SL)} = \log\left(\frac{M}{SL}\right) \quad (2)$$

เมื่อ	M	= ค่าจากการวัดโดยตรง
	$M_{adj}$	= ค่าการวัดที่ผ่านการแปลงแล้ว
	SL	= ความยาวมาตรฐานของตัวอย่าง

### 2) วิธีการถดถอยแบบอัลโลเมทรี (allometric regression)

การแปลงค่าด้วยวิธีการถดถอยแบบอัลโลเมทรี กือ การแปลงค่าโดยอาศัยหลักการวิเคราะห์การถดถอย (regression analysis) ระหว่างค่าจากการวัดกับค่าความยาวมาตรฐาน โดยสมการที่ใช้ในการแปลงค่าดังแสดงในสมการที่ 3 (Turan, 1999)

$$M_{adj} = \log M - \beta (\log SL - \log SL_{mean}) \quad (3)$$

เมื่อ	M	= ค่าจากการวัดโดยตรง
	$M_{adj}$	= ค่าการวัดที่ผ่านการแปลงแล้ว
	SL	= ความยาวมาตรฐานของตัวอย่าง
	$SL_{mean}$	= ความยาวมาตรฐานเฉลี่ยของตัวอย่างทั้งหมด
	$\beta$	= สัมประสิทธิ์ของการถดถอยเชิงเส้นโดยรวม (overall linear regression) ระหว่าง $\log M$ และ $\log SL$

### 3) วิธีการแปลงโดยใช้วิธีการสถิติเชิงพหุ (multivariate transformation)

การแปลงค่าวิธีนี้อ้างอิงจากความยาวเพียงความยาวเดียว แต่เกิดจากลักษณะร่วมกันของหล่ายตัวแปร (Teissier, 1960; Rohlf and Bookstein, 1987; Cadrian, 2000) ซึ่งเมื่อนำตัวแปรมอร์ฟิฟเมทริกส์มาวิเคราะห์ความแปรปรวนด้วยวิธีการวิเคราะห์องค์ประกอบหลัก (principal component analysis, PCA) พบว่า แกนองค์ประกอบหลักที่ 1

(PC1) มีความสัมพันธ์กับขนาดของตัวอย่างมากกว่าการอธิบายถึงรูปร่างของตัวอย่าง (Teissier, 1960) ดังนั้นจึงมีการคิดค้นหลากหลายวิธีที่จะกำจัดอิทธิพลความแปรปรวนของขนาดร่วงจากออกไปโดยอาศัยหลักการของสถิติเชิงพหุชั้นแต่ละวิธีให้ผลที่แตกต่างกันเพียงเล็กน้อย แต่วิธีที่นิยมใช้มากที่สุดคือวิธีการปรับค่าขนาดของบนอร์มานี (Burnaby's size-adjustment method) (Rohlf and Bookstein, 1987; Lingenberg, 1996; Cadrian, 2000) ซึ่งวิธีการปรับค่าขนาดของบนอร์มานี (Burnaby, 1966) เป็นวิธีที่มีความสัมพันธ์กับภาพฉาย (projection) ของข้อมูลนั้นในรูปแบบตั้งฉากของเวกเตอร์ขนาด (size vector) วิธีการนี้จะดึงความแปรปรวนที่ขนาดกับเวกเตอร์เงื่อนไข จำกัดของ และลดมิติของความแปรปรวนลง หรืออีกนัยหนึ่ง หากใช้ PC1 เป็นเวกเตอร์ขนาด ความแปรปรวนเนื้องจากอิทธิพลของขนาดจะถูกปรับค่าโดยคำนวณจากค่าน้ำหนักปัจจัยของ PC1 (Burnaby, 1966; Rohlf and Bookstein, 1987; Rohlf, 1990; McCoy *et al.*, 2006)

### 2.1.3 การวิเคราะห์ผลทางสถิติ (statistical analysis)

วิธีการวิเคราะห์ผลทางสถิติที่ใช้ในการศึกษาด้วยวิธีมอร์โฟเมทริกส์เชิงพหุมิติหลายวิธี ได้วิธีที่ทั่วไปและนิยมใช้กันอย่างแพร่หลาย ได้แก่ การวิเคราะห์องค์ประกอบหลัก (principal component analysis, PCA) และการวิเคราะห์จำแนกคุณลักษณะ (discriminant analysis, DA) โดยรายละเอียดของทั้งสองวิธีมีดังนี้

#### 1) การวิเคราะห์องค์ประกอบหลัก (principal component analysis, PCA)

การวิเคราะห์องค์ประกอบหลักเป็นเทคนิคที่วิเคราะห์ความสัมพันธ์ระหว่างตัวแปร โดยที่ไม่จำเป็นต้องทราบการเป็นสมาชิกของกลุ่มของตัวอย่างมาก่อน (*no a-priori defined group*) วัตถุประสงค์หลักของ การวิเคราะห์ได้แก่ เพื่อตรวจสอบโครงสร้างของชุดตัวแปรที่มีผลต่ออักษะและพารามิเตอร์ของกลุ่มตัวอย่าง ซึ่งจะทำให้ทราบถึงปัจจัยหรือองค์ประกอบแห่งในข้อมูล เพื่อคอมมิเดชันข้อมูลให้น้อยลงแต่สูญเสียข้อมูลสำคัญไปน้อยที่สุด ซึ่งจะทำให้ง่ายต่อการเข้าใจและการจัดการข้อมูล และเพื่อจัดกลุ่มหรือรวมตัวแปรที่มีความสัมพันธ์กันไว้ในกลุ่มหรือปัจจัยเดียวกัน ตัวแปรที่อยู่ในปัจจัยเดียวกันจะมีความสัมพันธ์กันมาก โดยอาจเป็นไปในทิศทางบวก (ความสัมพันธ์เป็นไปในทิศทางเดียวกัน) หรือทิศทางลบ (ความสัมพันธ์เป็นไปในทิศทางตรงข้ามกัน) ส่วนตัวแปรที่อยู่ต่างกลุ่มไปจัดจะไม่มีความสัมพันธ์กันหรือมีความสัมพันธ์กันน้อย (Comney, 1973; Reymont, 1985; Lestrel, 2006; Jhonson and Wichern, 2007)

การจัดกลุ่มตัวแปรหรือปัจจัยอาจอาศัยหลักการพสมเชิงเส้นของตัวแปร (แสดงในสมการที่ 4) โดยเลือกพสมตัวแปรที่อธิบายความแปรผันของข้อมูลได้มากที่สุดก่อน จากนั้นทำการพสมที่สองที่สามารถอธิบายความแปรผันได้มากที่สุดรองลงมา โดยที่การพสมครั้งหลังต้องไม่มีความสัมพันธ์กับการพสมก่อนหน้า ทำการพสมต่อไปจนได้องค์ประกอบหลัก (หรือปัจจัย) ที่สามารถอธิบายความแปรผันของทุกด้วย ได้ครบถ้วน ดังนั้นองค์ประกอบหลักจะอธิบายความแปรผันได้ดีขึ้นตามลำดับ (Lestrel, 2006; Jhonson and Wichern, 2007)

$$F_i = w_{i1}x_1 + w_{i2}x_2 + \dots + w_{ip}x_p \quad (4)$$

เมื่อ  $F_i$  = ปัจจัยหรือองค์ประกอบที่;  
 $w$  = น้ำหนักปัจจัยของตัวแปร  $x$  ตัวที่ 1 ถึง  $p$  ในปัจจัยที่;  
 $x$  = ตัวแปรอิสระตัวที่ 1 ถึง  $p$

ในการวิเคราะห์มอร์ฟเมทริกส์ วิธีการวิเคราะห์องค์ประกอบหลักลูกใช้เพื่อจัดกลุ่มของตัวแปรที่กำจัดอิทธิพลของขนาดออกไปแล้วข้าด้วยกัน แล้ววิเคราะห์รูปแบบความแปรผันทางสัณฐานวิทยาที่เป็นผลเนื่องจากกลุ่มตัวแปรหรือปัจจัยทางมอร์ฟเมทริกส์นั้น (Reyment, 1985; Thorepe, 1988; Cadrian, 2000; Lestrel, 2006)

## 2) การวิเคราะห์จำแนกกลุ่ม (discriminant analysis, DA)

การวิเคราะห์จำแนกกลุ่มเป็นเทคนิคที่ใช้เพื่อแยกตัวอย่างที่มีการกำหนดหรือรู้กลุ่มอยู่ก่อนหน้าแล้ว (*a-priori* defined group) โดยใช้ข้อมูลที่สังเกตได้ของแต่ละกลุ่ม (Fisher, 1936; MacGarigal *et al.*, 2000; Jhonson and Wichern, 2007) วัดถุประสงค์ของการวิเคราะห์จำแนกกลุ่ม คือ เพื่อหาสาเหตุหรือปัจจัยที่ควรใช้ในการแบ่งกลุ่ม เพื่อสร้างสมการจำแนกกลุ่ม และเพื่อนำสมการจำแนกกลุ่มมาใช้จำแนกหน่วยวิเคราะห์หรือตัวอย่างใหม่ว่าควรจัดอยู่ในกลุ่มใด (MacGarigal *et al.*, 2000; Jhonson and Wichern, 2007) หรือกล่าวโดยสรุป วัดถุประสงค์ของการวิเคราะห์จำแนกกลุ่มสามารถแบ่งออกเป็น 2 แนวทางหลัก คือ การแบ่งกลุ่ม (segregation) และการจำแนกกลุ่ม (classification)

**1.1) การแบ่งกลุ่ม** คือ การแบ่งหรือแยกกลุ่มที่เหมาะสมของตัวอย่างโดยอาศัยฟังก์ชันจำแนก (discriminant function หรือ canonical function หรือ canonical root) ซึ่งได้จากการทดสอบเชิงเส้นของตัวแปรตั้งแต่สองตัวขึ้นไป เพื่อให้ได้ฟังก์ชันที่สามารถแยกกลุ่มตัวอย่างที่กำหนดไว้ก่อนหน้าแล้วออกจากกันได้มากที่สุด โดยแต่ละฟังก์ชันจำแนกเป็นการทดสอบเชิงเส้นของตัวแปรที่มีการถ่วงน้ำหนักตามความสามารถในการจำแนกของตัวแปรนั้น (แสดงในสมการที่ 5)

$$D_i = \beta_1 X_{i1} + \beta_2 X_{i2} + \dots + \beta_n X_{in} + \beta \quad (5)$$

เมื่อ	$D_i$	= คะแนนจำแนก (canonical score) ฟังก์ชันที่ $i$
	$X_i$	= ค่าตัวแปรอิสระตัวที่ 1 ถึง $n$ ของฟังก์ชันจำแนกที่ $i$
	$\beta$	= สัมประสิทธิ์การจำแนก (discriminant coefficient)
	$n$	= จำนวนตัวแปรอิสระที่ใช้ในการจำแนกกลุ่ม

**1.2) การจำแนกกลุ่ม** คือ กระบวนการในการตัดสินใจว่าตัวอย่างนั้นเป็นสมาชิกหรือมีความใกล้เคียงกับกลุ่มใด หรืออีกนัยหนึ่ง คือ การจัดจำแนกตัวอย่างให้เข้าเป็นสมาชิกของกลุ่มโดยฟังก์ชันจำแนกที่สร้างขึ้นมาจากขั้นตอนการการแบ่งกลุ่ม (MacGarigal *et al.*, 2000; Jhonson and Wichern, 2007) โดยวิธีการวัดค่าระยะห่างระหว่างตัวอย่างกับกลุ่มที่นิยมใช้กันคือ วิธีการวัดค่าระยะห่างมาฮาลอนิบิส (Mahalanobis distance,  $D^2$ ) เป็นวิธีการที่คิดขึ้นมาโดย Mahalanobis (1963) หลักการคำนวณหาระยะห่างระหว่างตัวอย่างสองตัวอย่าง ดังแสดงในสมการที่ 6

$$D_{jk}^2 = (X_j - X_k)^T \Sigma^{-1} (X_j - X_k) \quad (6)$$

- เมื่อ  $D^2$  = ค่าระยะห่างมาตรฐานอิสระ  
 $\Sigma$  = เมตริกซ์ความแปรปรวน-ความแปรปรวนร่วมภายในกลุ่ม (pooled within-groups variance-covariance matrix)  
 $X_j$  = เวกเตอร์คะแนนการจำแนกของตัวอย่าง j  
 $X_k$  = เวกเตอร์คะแนนการจำแนกของตัวอย่าง k

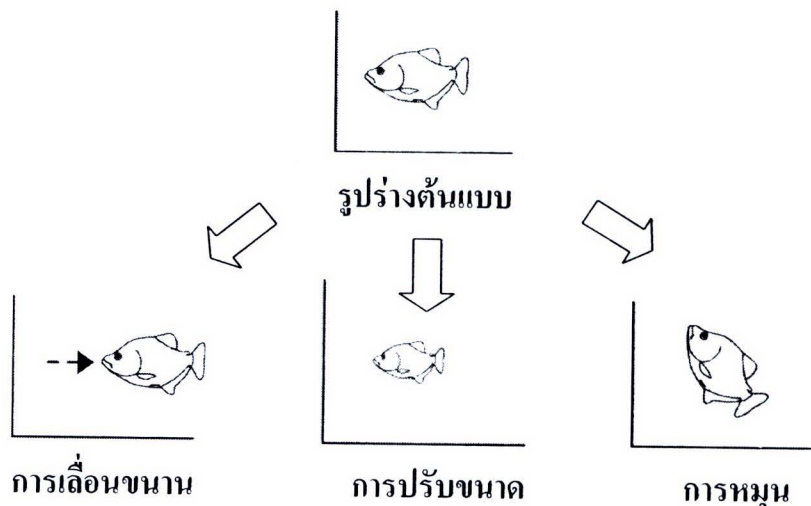
## 2.2 วิธีการมอร์ฟومorphikส์เชิงรากนิต (geometric morphometrics)

มอร์ฟومorphikส์เชิงรากนิตเป็นการศึกษาความแปรผันทางสัณฐานวิทยาโดยอาศัยหลักการทางเรขาคณิต (Bookstein, 1982; Zelditch *et al.*, 2004; Lastel, 2006) หลักการเบื้องต้นของมอร์ฟอมmorphikส์เชิงรากนิต มีดังนี้

### 2.2.1 นิยามและสมบัติของรูปร่างในทางมอร์ฟอมmorphikส์เชิงรากนิต

#### 1) นิยามของรูปร่าง (definition of shape)

รูปร่าง (shape) ในทางมอร์ฟอมmorphikส์เชิงรากนิต คือ ข้อมูลทางเรขาคณิตทั้งหมดของตัวอย่าง ซึ่งมีลักษณะเป็นข้อมูลหลายมิติอยู่ในตัวเองอยู่แล้ว (inherent multidimension) แต่ไม่มีหน่วย (dimensionless) และผลกระทบจากตำแหน่ง (location) มาตราส่วน (scale) และการหมุน (rotation) ถูกกำกับด้วย (Kendal, 1977) ดังนั้น การเลื่อนขาน (translation) การปรับขนาด (rescaling) และการหมุน (rotation) ไม่มีผลทำให้รูปร่างเปลี่ยนแปลงไปจากเดิม (Kendal, 1977; Bookstein, 1982; Dryden and Mardia, 1998; Zelditch *et al.*, 2004) สามารถแสดงลักษณะของรูปร่างตามนิยามในทางมอร์ฟอมmorphikส์เชิงรากนิตได้ดังภาพที่ 7



ภาพที่ 7 รูปร่างและคุณสมบัติในการเลื่อนขาน ปรับขนาด และการหมุน ซึ่งไม่ทำให้รูปร่างเปลี่ยนแปลง (ดัดแปลงจาก Zelditch *et al.*, 2004)

## 2) เมทริกซ์โครงแบบ (configuration matrix) และปริภูมิโครงแบบ (configuration space)

ข้อมูลที่ใช้ในการวิเคราะห์ทางมอร์ฟอเมทริกส์ซึ่งเรขาคณิตโดยอาศัยจุดกำหนดจะอยู่ในรูปของพิกัดจุดกำหนด (coordinate of landmark point) ซึ่งเป็นจุดสมนับ (correspondence) ในแต่ละตัวอย่าง และเข้ากันทั้งในระดับระหว่างประชากรและระดับภายในประชากร (Bookstein, 1982; Dryden and Mardia, 1998)

ข้อมูลพิกัดจุดกำหนดทั้งหมดสามารถเขียนแทนได้ในรูปของเมทริกซ์โครงแบบ (configuration matrix) โดยถ้ากำหนดให้ ข้อมูลรูปร่างที่นำเข้าในการศึกษามีจำนวนจุดกำหนด  $k$  จุด ในระยะ  $m$  มิติ จะได้เมทริกซ์โครงแบบในระบบพิกัดการที่เชิง (Cartesian coordinate) จำนวน  $km$  เมทริกซ์ และหากข้อมูลที่ทำการศึกษาอยู่ในระยะ  $2$  มิติ ( $m = 2$ ) สามารถเขียนแทนในรูปของเมทริกซ์โครงแบบหรือแสดงในรูปเวกเตอร์มดาว (row vector) ได้ดังสมการที่ 7 และ 8 ตามลำดับ (Dryden and Mardia, 1998; Zelditch *et al.*, 2004)

$$X = \begin{bmatrix} x_1 & y_1 \\ x_2 & y_2 \\ \vdots & \vdots \\ x_k & y_k \end{bmatrix} \quad (7)$$

$$X = [x_1, x_2, \dots, x_k, y_1, y_2, \dots, y_k]^T \quad (8)$$

เขต (set) ที่เป็นไปได้ทั้งหมดของเมทริกซ์โครงแบบ เรียกว่า ปริภูมิโครงแบบ (configuration space) ซึ่งมีขนาด  $km$  มิติ (Dryden and Mardia, 1998)

ข้อมูลปริภูมิโครงแบบยังไม่ใช่ข้อมูลรูปร่างที่แท้จริง (non-true shape information) เป็นเพียงข้อมูลทางเรขาคณิตที่ยังไประดับผลกระทบจากตำแหน่ง มาตรაส่วน และการหมุนตำแหน่งอยู่ ซึ่งคุณสมบัติของปริภูมิโครงแบบ มีดังนี้ (Dryden and Mardia, 1998; Zelditch *et al.*, 2004)

### 2.1) จุดเซนทรอล (centroid)

จุดเซนทรอล คือ จุดศูนย์กลางสมீือนของรูปร่าง เป็นจุดที่อยู่กึ่งกลางระหว่างแต่ละจุดกำหนด โดยคำนวณจากระยะห่างเฉลี่ยของตำแหน่งของแต่ละจุดกำหนด ในกรณีที่ปริภูมิโครงแบบ  $km$  อยู่ในระยะ  $2$  มิติ ( $m = 2$ ) ตำแหน่งของจุดเซนทรอลสามารถหาได้ดังแสดงในสมการที่ 9 และ 10

$$x_c = \frac{\sum_{i=1}^k x_i}{k} \quad (9)$$

$$y_c = \frac{\sum_{i=1}^k y_i}{k} \quad (10)$$

เมื่อ	$(x_c, y_c)$	= พิกัดของจุดเซนทรอล
	$(x_i, y_i)$	= พิกัดของจุดกำหนดที่ $i$
	$k$	= จำนวนจุดกำหนดทั้งหมด

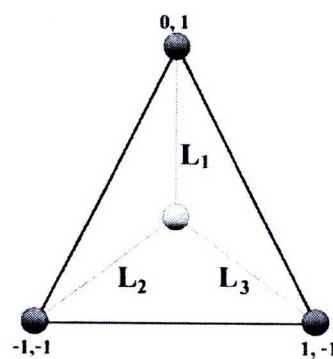
## 2.2) ขนาดเซนทรอยด์ (centroid size, CS)

ขนาดเซนทรอยด์ คือ ค่าที่แสดงมาตราส่วนของปริภูมิโครงแบบหนึ่ง ซึ่งเป็นค่าที่นิยมใช้ในการศึกษาระบบที่มีความซับซ้อน เช่น รากที่สองของปริภูมิโครงแบบหนึ่ง (Zelditch *et al.*, 2004) ขนาดเซนทรอยด์ของปริภูมิโครงแบบ km มิติ (X) ในระนาบ 2 มิติ ( $m = 2$ ) คือ ค่ารากที่สองของผลรวมกำลังสองของระยะห่างแต่ละจุดกำหนดกับจุดเซนทรอยด์ ซึ่งเป็นค่าที่ไม่ได้รับผลกระทบเนื่องจากการเปลี่ยนตำแหน่งของโครงแบบ เนื่องจาก การเปลี่ยนตำแหน่งจะทำให้ทุกจุดกำหนดหรือจุดเซนทรอยด์เปลี่ยนไปด้วยค่าที่เท่ากัน คล้ายกับการนำค่าคงที่มาคูณเมตริกซ์โครงแบบ ซึ่งจะทำให้ค่าขนาดเซนทรอยด์เพิ่มขึ้นด้วยองค์ประกอบที่เท่ากัน นอกเหนือนี้ ปริภูมิโครงแบบที่มีค่าขนาดเซนทรอยด์ต่างกันไม่จำเป็นต้องมีรูปร่างที่แตกต่างกันเพียงแต่มีมาตราส่วน (ขนาด) ที่ต่างกันเท่านั้น (Dryden and Mardia, 1998; Zelditch *et al.*, 2004) ซึ่งสามารถหาได้โดยใช้สมการที่ 11

$$CS(X) = \sqrt{\sum_{i=1}^k \sum_{j=1}^m (X_{ij} - C_j)^2} \quad (11)$$

- เมื่อ   
 i = แฉวของเมตริกซ์โครงแบบ  
 j = กอລัมນของเมตริกซ์โครงแบบ  
 $X_{ij}$  = ค่าจากตำแหน่ง  $i$  ของเมตริกซ์โครงแบบ  
 $C_j$  = ค่าเซนทรอยด์ค่าดันที่  $j$  ของเมตริกซ์โครงแบบ

คุณสมบัติของรูปร่างเกี่ยวกับจุดเซนทรอยด์จะค่าเซนทรอยด์สามารถแสดงให้ง่ายต่อการเข้าใจได้โดยใช้รูปร่างสามเหลี่ยมที่มีพิกัดการที่เชิง (Cartesian coordinate) ดังภาพที่ 8 จากภาพจะเห็นว่าจุดเซนทรอยด์ คือ จุดที่อยู่ระหว่างกึ่งกลางจุดกำหนดทั้งหมด ซึ่งมีพิกัดที่ตำแหน่ง  $(0, -0.333)$  และขนาดเซนทรอยด์ คือ ค่าดัชนีขนาดที่คำนวณจากรากที่สองของผลรวมกำลังสองของระยะทางระหว่างแต่ละจุดกำหนดกับจุดเซนทรอยด์ ( $L_1 + L_2 + L_3$ ) ซึ่งมีค่าเท่ากับ 2.16



ภาพที่ 8 จุดเซนทรอยด์ของรูปร่างสามเหลี่ยมในระนาบ 2 มิติ (Zelditch *et al.*, 2004)

### 3) ปริภูมิก่อนรูปร่าง (pre-shape space)

ปริภูมิก่อนรูปร่าง กือ เซตย่อย (subset) ของรูปร่างในปริภูมิโครงแบบที่มีตำแหน่ง (พิกัดของจุดเซนทรอยด์) และมาตราส่วน (ขนาดเซนทรอยด์) ไม่แตกต่างกัน (Dryden and Mardia, 1998) หรือหมายถึง รูปร่างในปริภูมิโครงแบบที่มีการปรับตำแหน่งของจุดเซนทรอยด์ให้ตรงกันโดยการเลื่อนขนาดให้อบู่ที่ตำแหน่งจุดกำหนด (0.0) และมีการปรับขนาดให้ค่าเซนทรอยด์มีค่าเท่ากัน 1 หรือที่เรียกว่าเซนทรอยด์หน่วย (unit centroid) (Dryden and Mardia, 1998; Zelditch *et al.*, 2004; McLeod, 2010)

การปรับตำแหน่งของรูปร่างให้ตรงกันทำได้โดยการนำค่าพิกัดของจุดเซนทรอยด์เข้าไปในกระทำกันเมทริกซ์โครงแบบดังแสดงในสมการที่ 12 และเรียกวิธีการปรับค่าตำแหน่งของปริภูมิโครงแบบว่า การปรับศูนย์กลาง (centering) ส่วนการปรับขนาดเซนทรอยด์ทำได้โดยการนำค่าขนาดเซนทรอยด์ไปหารกับค่าพิกัดของแต่ละจุดกำหนด (Dryden and Mardia, 1998; Zelditch *et al.*, 2004)

$$XC = \begin{bmatrix} (x_1 - x_c) & (y_1 - y_c) \\ (x_2 - x_c) & (y_2 - y_c) \\ \vdots & \vdots \\ (x_k - x_c) & (y_k - y_c) \end{bmatrix} \quad (12)$$

เมื่อ       $XC$       = เมทริกซ์โครงแบบที่ปรับค่าศูนย์กลางแล้ว  
 $(x_c, y_c)$     = พิกัดของจุดเซนทรอยด์  
 $(x_i, y_i)$     = พิกัดของจุดกำหนดที่  $i$

ตัวอย่างของปริภูมิก่อนรูปร่างที่ง่ายต่อการเข้าใจมากที่สุด กือ ปริภูมิก่อนรูปร่างของรูปสามเหลี่ยมในระนาบ 2 มิติ ซึ่งมีลักษณะเป็นลูกทรงกลมที่มีรัศมีเท่ากัน 1 แต่อาจพิจารณาคลพะครึ่งบน (hypersphere) เนื่องจากอีกครึ่งหนึ่งเป็นด้านที่สะท้อนของกันและกัน (reflected hemisphere) ดังแสดงในภาพที่ 12 โครงแบบของรูปสามเหลี่ยมจะเรียงตัวในปริภูมิก่อนรูปร่างดังตัวอย่างที่แสดงในภาพที่ 13 ซึ่งแสดงตัวอย่างบางส่วนของโครงแบบรูปสามเหลี่ยม และสามารถแสดงการจัดเรียงของโครงแบบรูปสามเหลี่ยมทั้งหมด ในปริภูมิก่อนรูปร่างได้ดังภาพที่ 14 เมื่อตัดบางปริภูมิก่อนรูปร่างจะได้ตั้งภาพที่ 14 ซึ่งจากภาพแสดงให้เห็นถึงการจัดความตัวของโครงแบบสองโครงแบบ โดยพนว่าระยะห่างของโครงแบบทั้งสองสามารถพิจารณาได้สองแบบ คือ ระยะห่างบนพื้นผิวปริภูมิที่มีลักษณะเป็นเส้นโค้ง (arc) ซึ่งเรียกว่า ระยะห่างโพครัสเตส (Procrustes distance,  $\rho$ ) และระยะห่างที่ตัดผ่านเข้าไปในปริภูมิซึ่งมีลักษณะเป็นเส้นตรง เรียกว่า ระยะห่างโพครัสเตสบางส่วน (partial Procrustes distance,  $D_\rho$ ) (Dryden and Mardia, 1998; Zelditch *et al.*, 2004; McLeod, 2010)

#### 4) ปริภูมิรูปร่าง (shape space)

ปริภูมิรูปร่าง คือ ปริภูมิก่อนรูปร่างที่มีการหมุน โดยเลือกโครงแบบหนึ่ง (รูปร่างหนึ่ง) เป็นโครงแบบอ้างอิง (reference configuration) แล้วหมุนโครงแบบที่เหลือซึ่งเรียกว่า โครงแบบเป้าหมาย (target configuration) ให้สมนัยกับโครงแบบอ้างอิง โดยทิศทางในปริภูมิหลังจากหมุนแล้วต้องทำให้กระยะห่าง โพรครัสเตส ( $\rho$ ) ระหว่างโครงแบบเป้าหมายกับโครงแบบอ้างอิงมีค่าลดลง ดังนั้นปริภูมิรูปร่างจึงเป็นปริภูมิที่มีความแตกต่างกันเฉพาะรูปร่าง เนื่องจากความแตกต่างของตำแหน่ง มาตรាស่วน และทิศทางในปริภูมิถูกกำหนดออกไปแล้ว หมุนในการหมุน ( $\theta$ ) หาได้จากสมการที่ 13 (Dryden and Mardia, 1998; Zelditch et al., 2004)

$$\theta = \arctangent \left( \frac{\sum_{j=1}^k y_{Rj}x_{Tj} - x_{Rj}y_{Tj}}{\sum_{j=1}^k x_{Rj}x_{Tj} + y_{Rj}y_{Tj}} \right) \quad (13)$$

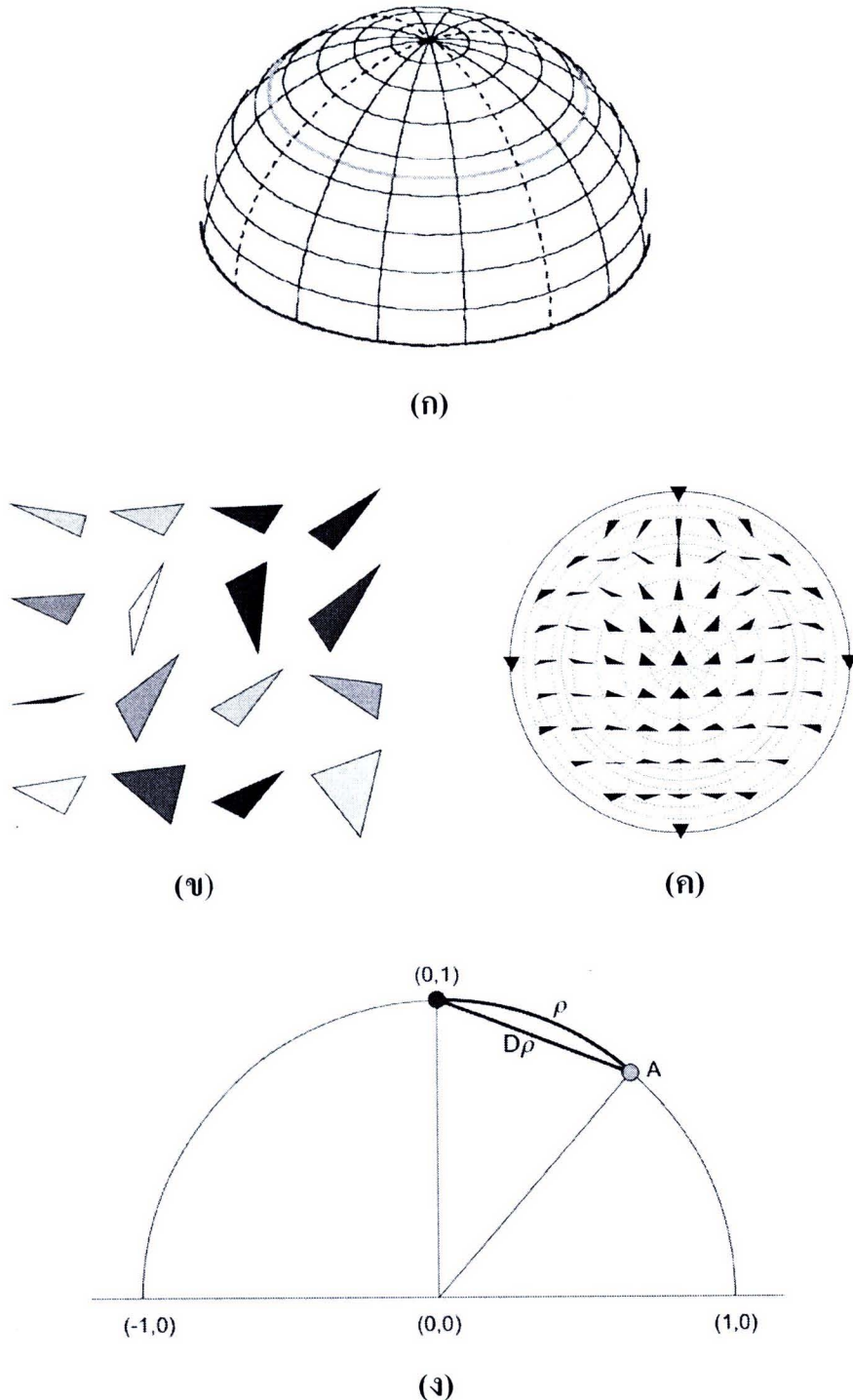
เมื่อ	$\theta$	= หมุนในการหมุน
	$x_T, y_T$	= พิกัดของโครงแบบเป้าหมาย
	$x_R, y_R$	= พิกัดของโครงแบบอ้างอิง
	k	= จำนวนจุดกำหนด

##### 4.1) ปริภูมิรูปร่างของเกนดัล (Kendall's shape space)

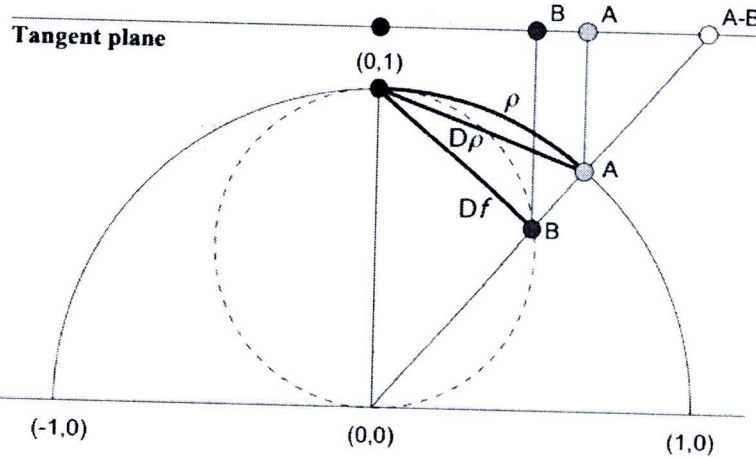
ปริภูมิรูปร่างของเกนดัล คือ ปริภูมิรูปร่างที่มีการหมุนเพื่อลดระยะห่างระหว่างโครงแบบโดยวัดระยะห่างในแนวตั้งจากกับโครงแบบเดิม ระยะห่างตั้งกับทิศเรียกว่า ระยะห่างโพรครัสเตสเต็ม (full Procrustes distance,  $D_p$ ) ดังแสดงในภาพที่ 10 จากภาพแสดงโครงแบบ A ซึ่งเป็นโครงแบบในปริภูมิก่อนรูปร่างที่มีระยะห่างจากโครงแบบอ้างอิงเท่ากับ  $D_p$  หน่วย เมื่อทำการหมุนจะทำให้ได้โครงแบบใหม่ (โครงแบบ B) ซึ่งมีระยะห่างจากโครงแบบอ้างอิงเท่ากับ  $D_t$  หน่วย ซึ่งจะทำให้ได้เขตของโครงแบบใหม่ที่มีขนาดเช่นทรอยด์เท่ากับ  $\cos(\rho)$  และเรียกปริภูมิของโครงแบบใหม่นี้ว่า ปริภูมิรูปร่างของเกนดัล (Kendall's shape space) (Dryden and Mardia, 1998; Zelditch et al., 2004)

##### 4.2) ปริภูมิสัมผัส (tangent space)

เนื่องจากปริภูมิรูปร่างของเกนดัลมีคุณสมบัติไม่ใช่ปริภูมิยูคลิด (non-Euclidean space) ซึ่งมีความซับซ้อนมากในการเปรียบเทียบทางคดิศาสตร์หรือสถิติ ดังนั้นจึงมีการพัฒนาวิธีในการเปรียบเทียบรูปร่างโดยการแปลงเปลี่ยนปริภูมิรูปร่างของเกนดัลให้เป็นปริภูมิสัมผัส (Tangent space) ซึ่งเป็นการส่ง (mapping) รูปร่างเฉลี่ย (mean shape) ลงบนระนาบสัมผัส (Dryden and Mardia, 1998; McLeod, 2010) ดังแสดงในภาพที่ 10



**ภาพที่ 9** บริภูมิก่อนรูปร่าง (preshape space) ของรูปสามเหลี่ยม และรูปร่างของปริภูมิครึ่งบน (hypersphere) (ก: ดัดแปลงจาก Rohlf, 2002) ตัวอย่างของโครงแบบที่เป็นไปได้นางส่วนของรูปสามเหลี่ยม (ข: McLeod, 2010) การจัดเรียงตัวของโครงแบบในปริภูมิก่อนรูปร่าง (ค: McLeod, 2010) และภาคตัดขวางแสดงระยะห่างระหว่างสองโครงแบบในปริภูมิก่อนรูปร่าง (ง: McLeod, 2010)



ภาพที่ 10 ภาคตัดขวางแสดงความสัมพันธ์ของปริภูมิก่อนรูปร่าง ปริภูมิรูปร่างของคนดัก และปริภูมิสัมผัส (McLeod, 2010)

### 2.2.2 การซ้อนทับ (superimposition)

การซ้อนทับเป็นวิธีที่ใช้เพื่อการปรับเปลี่ยนปริภูมิโครงแบบให้เป็นปริภูมิรูปร่าง โดยมีการปรับศูนย์กลาง ปรับขนาดและหมุน (Dryden and Mardia, 1998; Zelditch *et al.*, 2004; McLeod, 2010) วิธีในการซ้อนทับมีหลายวิธี เช่น วิธีพิกัดรูปร่างของบุคคลที่นิ้น (Bookstein's shape coordinate) วิธีการลงทะเบียนแบบเดินฐานลื่อน (sliding-baseline registration) และวิธีไพรคัสเทรสทรีสแตนด์ฟิต (Procrustes resistant fit) แต่วิธีที่นิยมใช้กือ วิธีการซ้อนทับแบบกำลังสองหัวไวป์นอยท์สุดหัวไว (generalized least squares superimposition, GLS) หรืออีกชื่อคือ วิธีการซ้อนทับของไพรคัสเทสท์หัวไว (generalized Procrustes superimposition, GPS) (Zelditch *et al.*, 2004; McLeod, 2010) ซึ่งหลักการของวิธีการ GLS คือ การหมุนปริภูมิก่อนรูปร่างให้มีระยะห่างไพรคัสเทระหว่างโครงแบบน้อยที่สุด (Dryden and Mardia, 1998; Zelditch *et al.*, 2004; McLeod, 2010) ดังนั้น โครงแบบที่อยู่ในปริภูมิรูปร่างจะเป็นโครงแบบที่ถูกจำจัดความแตกต่างของตำแหน่ง มาตราส่วน และทิศทางออกไปแล้ว มีความแตกต่างกันเฉพาะรูปร่างเท่านั้น (Zelditch *et al.*, 2004; McLeod, 2010)

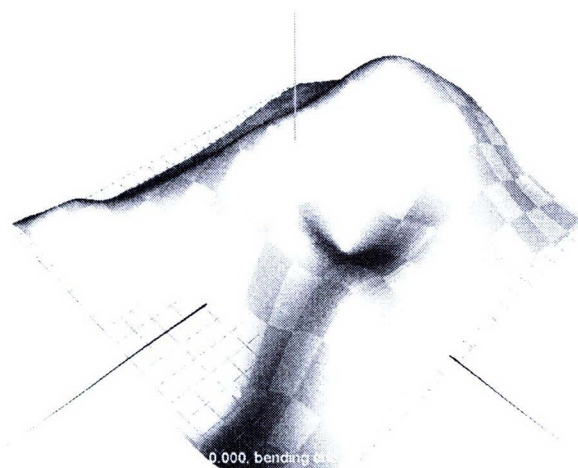
### 2.2.3 การวิเคราะห์เชิงเพลทไปล์น (thin-plate spline analysis, TPS)

#### 1) หลักการเบื้องต้น

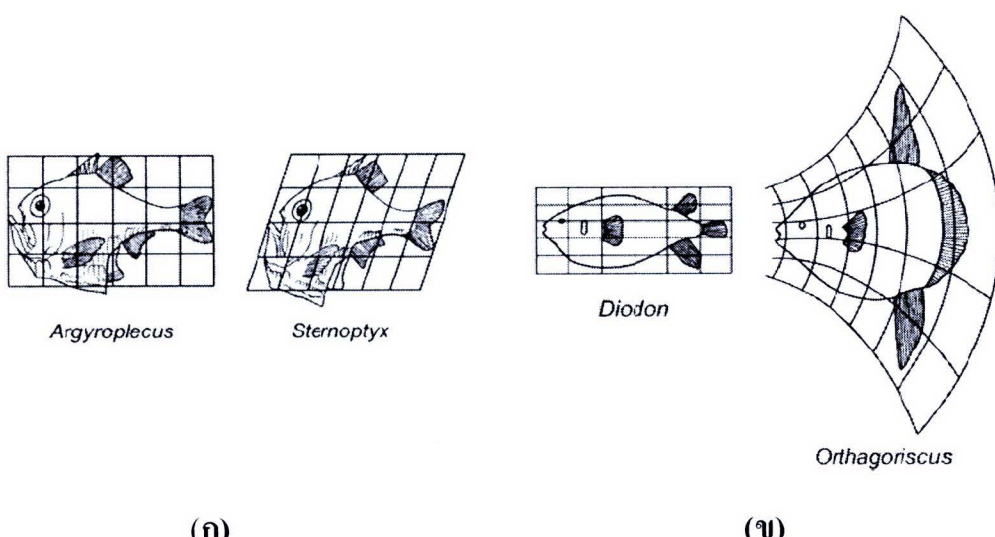
การวิเคราะห์เชิงเพลทไปล์นเป็นการวิเคราะห์ฟังก์ชันเรียบต่อเนื่อง (smooth continuum function) ที่มีแบบจำลอง (model) ของการวิเคราะห์เป็นแผ่นเหล็กบาง (thin metal plate) ที่มีความอิสระในการเปลี่ยนแปลงรูปแบบโดยอาศัยแรงในการบิดโค้ง (bending energy) เพียงเล็กน้อย ดังตัวอย่างที่แสดงในภาพที่ 11 (Bookstein, 1989; Dryden and Mardia, 1998; Zelditch *et al.*, 2004; McLeod, 2010) โดยเป็นวิธีการที่พัฒนามาจากแนวคิดของ Thomson (1917) ที่ได้ใช้หลักการและวิธีการทางคณิตศาสตร์และฟิสิกส์ในการอธิบายเกี่ยวกับการเติบโต โครงสร้าง และรูปแบบของสิ่งมีชีวิตให้อยู่ในรูปของปราภูกรรมที่ง่ายต่อการเข้าใจ เรียกวิธีการนี้ว่า การวิเคราะห์สนามแรง (force field analysis) (McLeod, 2010) ซึ่งเป็นการเปรียบเทียบความแตกต่างระหว่างตัวอย่างสองตัวอย่างหรือสิ่งมีชีวิตสองชนิด โดยกำหนดให้ตัวอย่างหรือรูปแบบหนึ่งเป็นตัวอย่างอ้างอิง



(reference) ส่วนอีกด้านตัวอย่างหรืออีกชุดแบบจำลองคือเป้าหมาย (target) จากนั้นสร้างเส้นตารางพิกัดฉาก (rectilinear grid) ทับกับตัวอย่างอ้างอิง แล้วสร้างเซตการแปลงทางคณิตศาสตร์เพื่อส่งพิกัดของตารางวางแผนบนตัวอย่างเป้าหมาย โดยโครงสร้างที่สมนัย (correspondent structure) ของตัวอย่างต้องอยู่ในช่องตาราง (block) ที่สมนัยกัน และเรียกตารางที่ได้นี้ว่า ตารางการเปลี่ยนแปลงรูปร่าง (deformation grid) (Zelditch et al., 2004; McLeod, 2010) ดังตัวอย่างที่แสดงในภาพที่ 12



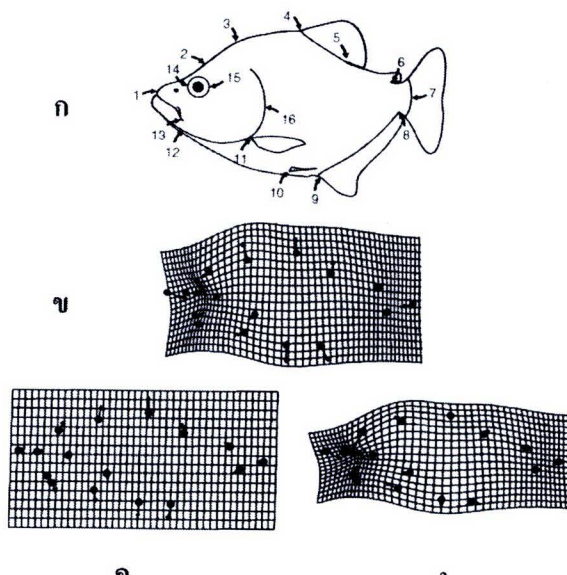
ภาพที่ 11 ตัวอย่างแบบจำลองของการวิเคราะห์เชิงเพลทส์ไปล์น (Belle, 2006)



ภาพที่ 12 การเปรียบเทียบความแตกต่างทางสัณฐานวิทยาระหว่างสิ่งมีชีวิตสองชนิดของ D'Arcy Thomson ในรูปของตารางการเปลี่ยนแปลงรูปร่าง (Thomson, 1917)

## 2) รูปแบบของการแปลง (transformation)

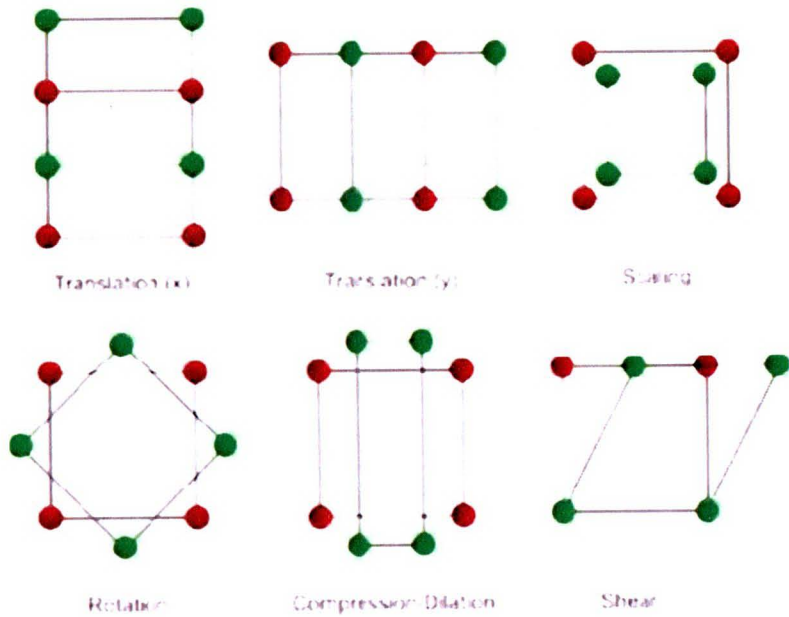
รูปแบบของการแปลงทางคณิตศาสตร์ของการวิเคราะห์เชิงเพลทส์ไปล์น แบ่งออกเป็น 2 แบบ ได้แก่ การแปลงแบบเอกรูป (uniform transformation) หรือการแปลงสัมพรรค (affine transformation) และการแปลงแบบไม่เอกรูป (non-uniform transformation) หรือการแปลงอสัมพรรค (non-affine transformation) ผลของการแปลงทั้งสองแบบข้างต้นจะทำให้ได้ผลการวิเคราะห์ดังตัวอย่างที่แสดงในภาพที่ 13 แต่ทั้งนี้ ในการวิเคราะห์และสรุปผลต้องดูจากภาพรวมของการเปลี่ยนแปลง (total transformation) ที่เกิดจากองค์ประกอบร่วมของการแปลงแบบเอกรูปและการแปลงแบบไม่เอกรูป



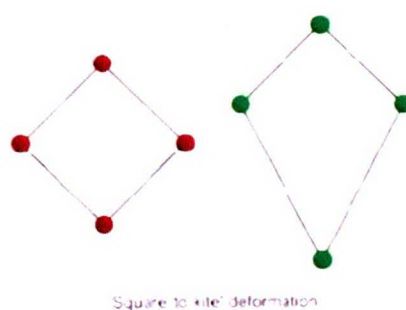
ภาพที่ 13 ตัวอย่างการวิเคราะห์ความแปรผันทางสัณฐานวิทยาด้วยเทคนิคการวิเคราะห์เชิงเพลทส์ไปล์น แสดง การกำหนดจุดตัวอย่าง (ก) ผลการวิเคราะห์ความแปรผันโดยรวม (ข) ผลการวิเคราะห์ความแปรผัน เอกรูป (ค) และผลการวิเคราะห์ความแปรผันไม่เอกรูป (ง) (Zelditch *et al.*, 2004)

**2.1) การแปลงแบบเอกรูป** เป็นการแปลงที่ขังรักษาคุณสมบัติการขนาดกันของเส้นตาราง การเปลี่ยนแปลงรูปร่างอยู่ การแปลงแบบเอกรูปประกอบด้วยการเลื่อนขนาดในแนวแกนเอกซ์ (translation along x-axis) การเลื่อนขนาดในแนวแกนwhy (translation along y-axis) การปรับขนาด (scaling) การหมุน (rotation) การบีบ/ขยาย (compression/dilation) และการเฉือน (shear) ซึ่งลักษณะของการแปลงแบบเอกรูปแต่ละแบบแสดง ดังภาพที่ 14 โดยการแปลงแบบเอกรูปสี่แบบแรกไม่มีผลทำให้เกิดความแตกต่างของรูปร่าง แต่การแปลงสองแบบ สุดท้าย คือ การบีบ/ขยาย และการเฉือน มีผลทำให้เกิดความแตกต่างของรูปร่าง ผลของการแปลงแบบเอกรูป จะทำให้เกิดความแตกต่างของรูปร่างในระดับภาพรวม (global difference) (Bookstein, 1989; Dryden and Mardia, 1998; Zelditch *et al.*, 2004; McLeod, 2010)

2.2) การแปลงแบบไม่เอกรูป เป็นการเปลี่ยนแปลงของรูปร่างที่ทำให้คุณสมบัติการขนาดกันของเส้นตารางการเปลี่ยนแปลงรูปร่างหายไป ตัวอย่างของการแปลงแบบไม่เอกรูปที่ง่ายที่สุด คือ การเปลี่ยนแปลงรูปร่างจากรูปสี่เหลี่ยมด้านเท่า (square) ไปเป็นรูปสี่เหลี่ยมนรูปกว้าง (kite) ดังตัวอย่างที่แสดงในภาพที่ 15 ผลของการแปลงแบบไม่เอกรูปจะทำให้เกิดความแตกต่างของรูปร่างในระดับเฉพาะบริเวณ (local difference) (Bookstein, 1989; Dryden and Mardia, 1998; Zelditch *et al.*, 2004; McLeod, 2010)



ภาพที่ 14 ตัวอย่างการแปลงแบบเอกรูป จุดสีแดงแสดงแสดงพิกัดของรูปร่างตั้งต้น จุดสีเขียวแสดงพิกัดของรูปร่างหลังการแปลง (McLeod, 2010)



ภาพที่ 15 ตัวอย่างของการแปลงแบบไม่เอกรูป จุดสีแดงแสดงแสดงพิกัดของรูปร่างตั้งต้น จุดสีเขียวแสดงพิกัดของรูปร่างหลังการแปลง (McLeod, 2010)

### 3) กระบวนการของการวิเคราะห์

ขั้นตอนแรกของการวิเคราะห์ขึ้นเพลทสไปล์นคือการหาผลลัพธ์ที่ใช้ในการบิดโค้งพื้นที่ผิวแต่เนื่องจากการคำนวณหาผลลัพธ์ที่ใช้ในการบิดโค้งพื้นผิวที่ปิดล้อมด้วยจุดกำหนดเป็นเรื่องยาก เพราะมีผลลัพธ์จำนวนมากกระทำต่อพื้นที่ปิด ดังนั้นจึงต้องหาผลลัพธ์ของการบิดโค้งระหว่างจุดกำหนดที่ลักษณะที่สามารถได้จากสมการที่ 14 (McLeod, 2010)

$$U(r_{ij}) = r_{ij}^2 \ln(r_{ij}^2) \quad (14)$$

เมื่อ  $r_{ij}^2 = \text{กำลังสองของระยะทางระหว่างจุดกำหนด } i \text{ และ } j$   
 $i, j = \text{เขตของพิกัดจุดกำหนด}$

ผลลัพธ์ที่กระทำต่อพื้นผิวทั้งหมดแสดงได้จากเมตริกซ์ย่อย (partitioned matrix, L)  
 ดังในสมการที่ 15

$$L = \begin{bmatrix} P & Q \\ Q^t & 0 \end{bmatrix} \quad (15)$$

เมื่อ  $P = \text{เมตริกซ์ของระยะทางระหว่างจุดกำหนด ซึ่งหาได้จากสมการที่ 16}$   
 $Q = \text{เมตริกซ์พิกัดจุดกำหนดของโครงแบบอ้างอิง ซึ่งหาได้จากสมการที่ 17}$   
 $Q^t = \text{เมตริกซ์สลับเปลี่ยน (transpose matrix) ของเมตริกซ์ } Q$   
 $0 = \text{เมตริกซ์ศูนย์ (zeros matrix) ขนาด } 3 \times 3$

$$P = \begin{bmatrix} 0 & U_{12} & U_{13} & \dots & U_{1k} \\ U_{21} & 0 & U_{23} & \dots & U_{2k} \\ U_{31} & U_{32} & 0 & \dots & U_{3k} \\ \vdots & & & \ddots & \vdots \\ U_{k1} & U_{k2} & U_{k3} & \dots & 0 \end{bmatrix} \quad (16)$$

$$Q = \begin{bmatrix} 1 & x_1 & y_1 \\ 1 & x_2 & y_2 \\ \vdots & \vdots & \vdots \\ 1 & x_k & y_k \end{bmatrix} \quad (17)$$

เมตริกซ์ L เป็นเมตริกซ์สมมาตร (symmetrical matrix) ที่มีขนาด  $(k+3) \times (k+3)$  และ เมตริกซ์ผกผันของเมตริกซ์ L (inverts matrix,  $L^{-1}$ ) แสดงให้ถึงผลลัพธ์ที่ใช้เลื่อนพิกัดของโครงแบบอ้างอิง (การบิดตัวของพื้นผิวของโครงแบบอ้างอิง) หรือที่เรียกว่า เมตริกซ์พลังงานการบิดโค้ง (bending energy matrix)

พัลจังงานการบิดโค้งพื้นผิวทั้งหมดหาได้โดยการรวมเมทริกซ์  $L^{-1}$  เข้ากับเมทริกซ์ค่าพิเศษของโครงแบบเป้าหมาย ( $X_t$ ) ที่เพิ่มเมทริกซ์ศูนย์ขนาด  $3 \times 2$  เข้าไปด้วย ( $X_{t+}$ ) ดังแสดงในสมการที่ 19 ทำให้ได้เมทริกซ์ใหม่ที่เรียกว่า เมทริกซ์น้ำหนัก (weight matrix, W) ซึ่งสามารถแบ่งออกเป็น 2 ส่วน โดยส่วนแรก ( $k$  และแรก) เป็นค่าน้ำหนักของความแปรผันของรูปปั้นแบบไม่เอกสารุป และส่วนหลัง ( $3 - k$  และสุดท้าย) เป็นค่าน้ำหนักของความแปรผันของรูปปั้นแบบเอกสารุป

$$W = L^{-1} X_{t+} \quad (18)$$

$$X_{t+} = \begin{bmatrix} x'_1 & y'_1 \\ x'_1 & y'_1 \\ \vdots & \vdots \\ x'_1 & y'_1 \\ 0 & 0 \\ 0 & 0 \\ 0 & 0 \end{bmatrix} \quad (19)$$

เมทริกซ์น้ำหนักแสดงถึงความสามารถในการบิดโค้งของพื้นผิวในสามมิติ ซึ่งสามารถแสดง การเปลี่ยนแปลงในรูปของตารางการเปลี่ยนแปลงรูปปั้นในสองมิติได้โดยการส่งพิกัดแกนแซดไปยังพิกัดแกนออกซ์และแกนวาย โดยใช้สมการที่ 20 และ 21 ตามลำดับ

$$Z_x(x, y) = W_{k+1,1} + W_{k+2,1}x + W_{k+3,1}y + \sum_{i=1}^k W_{i,1} U \left( \sqrt{(r_{i,1} - x_{i,1})^2 + (r_{i,2}x_{i,2})^2} \right) \quad (20)$$

$$Z_y(x, y) = W_{k+1,2} + W_{k+2,2}x + W_{k+3,2}y + \sum_{i=1}^k W_{i,2} U \left( \sqrt{(r_{i,1} - x_{i,1})^2 + (r_{i,2}x_{i,2})^2} \right) \quad (21)$$

เมทริกซ์พัลจังงานการบิดโค้งสามารถจัดเรียงใหม่ในรูปอนุกรมของเวกเตอร์ไอกেน (series of eigenvectors,  $E_i$ ) และค่าไอกेन (eigenvalues,  $\lambda_i$ ) ได้ดังสมการที่ 22

$$L^{-1} E_i = \lambda_i E_i \quad (22)$$

เมทริกซ์การเปลี่ยนแปลงรูปปั้นสามารถแสดงได้ในรูปของการรวมเชิงเส้นของไอกेन เวกเตอร์ของเมทริกซ์พัลจังงานการบิดโค้ง โดยที่ค่าไอกेनแสดงถึงปริมาณของพัลจังงานการบิดโค้งที่ทำให้เกิด การเปลี่ยนแปลงรูปปั้น และเนื่องจากค่าไอกेनของเมทริกซ์พัลจังงานการบิดโค้งจำนวนสามค่ามีค่าเท่ากับศูนย์ ดังนั้นจึงเหลือเวกเตอร์ไอกेनเพียง  $k-3$  เวกเตอร์ ที่แสดงถึงค่าองค์ประกอบของการเปลี่ยนแปลงรูปปั้น เรียกว่า เวกเตอร์ไอกेनดังกล่าวว่า การโถงตัวบางส่วน (partial warps) เรียกตัวคูณเวกเตอร์ (vector multiplier) ว่า คะแนน การโถงตัวบางส่วน (partial warps scores) และเรียกการโถงตัวบางส่วนที่มีผลทำให้เกิดการโค้งของพื้นผิว (bent surface) ว่า การโถงตัวหลัก (principal warp) โดยค่าคะแนนการโถงตัวบางส่วนสามารถนำไปวิเคราะห์ทางสถิติ เพื่อเปรียบเทียบความแตกต่างของรูปปั้นได้ (Slice et al., 1996; Zelditch et al., 2004)

### 3. การประยุกต์ใช้วิธีการทางมอร์โฟเมทริกส์เพื่อศึกษาความแปรผันทางสัณฐานวิทยา

วิธีการทางมอร์โฟเมทริกส์ถูกใช้ในการศึกษาความแปรผันทางสัณฐานวิทยาของสิ่งมีชีวิตในหลากหลายระดับ ไม่ว่าจะเป็นการศึกษาในระดับเซลล์ เนื้อเยื่อ โครงสร้าง อวัยวะ หรือระดับตัวตนของสิ่งมีชีวิต โดยถูกนำไปใช้ในหลากหลายสาขาวิชา ทั้งในด้านการแพทย์ อนุกรรมวิชา วิวัฒนาการ บรรพชีวินวิทยา เกษตรกรรม และการประมง รวมทั้งการศึกษาด้านมนุษยวิทยาภายใน ดังต่อไปนี้

#### 3.1 การประยุกต์ใช้ในการทางการแพทย์

วิธีการทางมอร์โฟเมทริกส์ถูกใช้อีกหนึ่งแพล็ทฟอร์มในการทางการแพทย์ โดยมีวัตถุประสงค์ที่หลากหลาย เช่น เพื่อศึกษาเกี่ยวกับรูปแบบปกติของโครงสร้างหรืออวัยวะสำหรับใช้เป็นรูปแบบมาตรฐานในการเปรียบเทียบกับลักษณะที่มีความผิดปกติของโครงสร้างหรืออวัยวะดังกล่าว หรือใช้ในการศึกษาการเปลี่ยนแปลงทางพยาธิสภาพ และภัยวิภาคของเซลล์ เนื้อเยื่อ หรือโครงสร้างของร่างกาย อันเนื่องมาจากการเจ็บป่วยหรืออุบัติเหตุ ตลอดจนใช้เพื่อการวินิจฉัยอัตโนมัติ (automated diagnosis) ด้วยการวิเคราะห์มอร์โฟเมทริกส์ในระดับเซลล์ เนื้อเยื่อ และอวัยวะ เช่น การศึกษามอร์โฟเมทริกส์ของไขมุกตอนเครียในเซลล์ลักษณะเดียวกันนี้ของมนุษย์ต่างช่วงอายุ เพื่อศึกษาเกี่ยวกับกระบวนการแก่ของเซลล์ (Bestoni-Freddari *et al.*, 2002) การศึกษาลักษณะทางมอร์โฟเมทริกส์ของเซลล์เม็ดเลือดองมุขย์ภายในได้ก่อให้เกิดการเปลี่ยนแปลงทางรูปแบบ (Fedorona *et al.*, 2008) และในการศึกษาและวิเคราะห์ความสัมพันธ์ทางพันธุกรรมต่อความแตกต่างของรูปร่างในระดับจุดภัยวิภาคของบริเวณคอร์ทิคัล (cortical area) ในสมองหนูทดลองสายพันธุ์แท้และสายพันธุ์ผสม (Airey *et al.*, 2006) เป็นต้น

การวิเคราะห์มอร์โฟเมทริกส์ในระดับโครงสร้างหรืออวัยวะของร่างกาย เช่น การประเมินพารามิเตอร์ทางมอร์โฟเมทริกส์ของโครงสร้างกระดูกจากภาพถ่ายรังสีของกระดูก เพื่อใช้เป็นตัวชี้วัดค่าความแข็งแรงของกระดูกสะโพก (Asa *et al.*, 2005) การวิเคราะห์รูปแบบทางมอร์โฟเมทริกส์ของขากรรไกรล่างของมนุษย์เพื่อการศึกษาความผิดปกติทางทันตกรรม (Chang *et al.*, 2002; Nichlossen and Haravah, 2006) และการระบุอายุของตัวอย่างทางมนุษยวิทยา (Nichlossen and Haravah, 2006) หรือการสำรวจและเปรียบเทียบรูปแบบความแปรผันร่วมระหว่างโครงสร้างของใบหน้ากับลักษณะของกระดูกที่เป็นส่วนประกอบของใบหน้า โดยการวิเคราะห์ภาพถ่ายรังสีด้านข้างของศีรษะของมนุษย์หลายเชื้อชาติ เพื่อวิเคราะห์รูปแบบใบหน้าปกติและรูปแบบใบหน้าที่มีความผิดปกติ (Bastir and Rosas, 2006) การวิเคราะห์รูปแบบของการแทรกสอดของอีน (Dargel *et al.*, 2000) การแตกแยกของเส้นประสาท (Chynes *et al.*, 2004) และรูปแบบทางมอร์โฟเมทริกส์ของกระดูกแขน (Koslowsley *et al.*, 2007) เพื่อสร้างรูปแบบมาตรฐานสำหรับการวางแผนการรักษาหรือผ่าตัด

นอกจากนี้วิธีการทางมอร์โฟเมทริกส์ยังถูกใช้ในการสร้างแบบจำลองเพื่อใช้ในการวินิจฉัยลักษณะของความผิดปกติ เช่น การใช้วิธีการทางมอร์โฟเมทริกส์ในการวิเคราะห์ภัยคุกคามของเยลล์ไฟฟ้า (MRI) เพื่อสร้างฐานข้อมูลในการระบุอาการผิดปกติของสมอง (Evans, 2005) การประเมินการเป็นมะเร็งต่อมลูกหมาก (Lemaitre *et al.*, 2009) หรือใช้เพื่อติดตามหรือประเมินการเปลี่ยนแปลงที่เป็นผลจากโรคหรือผลของการรักษา (Baccetti *et al.*, 1999)

### 3.2 การประยุกต์ใช้ในการจัดจำแนกทางอนุกรมวิธาน

การประยุกต์ใช้วิธีการมอร์โฟเมทริกส์ในการศึกษาทางอนุกรมวิธานแบ่งออกเป็น 3 แนวทางหลัก ได้แก่ แนวทางแรก คือ การศึกษาความแปรผันและความแตกต่างทางสัณฐานวิทยาในระดับภายในกลุ่มประชากรที่อาศัยอยู่ในแหล่งอาศัยเดียวกัน (*within-population*) ซึ่งมีวัตถุประสงค์เพื่อศึกษาเกี่ยวกับความแปรผันทางสัณฐานวิทยา และโครงสร้างของประชากร (*assemblage structure*) ตัวอย่างเช่น การศึกษาของ Bronte *et al.* (1999), Trapani (2003) และ Turan *et al.* (2003) เป็นต้น แนวทางที่สอง คือ การศึกษาความแปรผันและความแตกต่างทางสัณฐานวิทยาในระดับระหว่างกลุ่มประชากรที่อาศัยอยู่ในต่างแหล่งอาศัยกัน (*between-populations*) เช่น การศึกษาของ Vidalis *et al.* (1997), North *et al.* (2002), Turan (2004), Cadrin and Silva (2005), Turan *et al.* (2005), Marcil *et al.* (2006), Molina *et al.* (2006), Pollar *et al.* (2007), Omoniyi and Agbon (2008), Bagherian and Rahmani (2009) และ Çakmak and Alp (2010) เป็นต้น โดยมีวัตถุประสงค์เพื่อศึกษาเกี่ยวกับความแปรผันทางสัณฐานวิทยา ที่เป็นผลเนื่องจากอิทธิพลของความแตกต่างทางชีวภูมิศาสตร์ (*geographical difference*) ซึ่งจะเป็นประโยชน์ต่อการระบุกลุ่มประชากรทางการประมง (*fishery stock identification*) เพื่อการบริหารจัดการการทำการประมง หรือการกำหนดขอบเขตของชนิด (*species limit*) เพื่อการจัดจำแนกทางอนุกรมวิธาน และแนวทางสุดท้าย คือ การศึกษาความแปรผันและความแตกต่างทางสัณฐานวิทยาในระดับระหว่างชนิด (*between-species*) หรือระดับที่สูงกว่า ซึ่งเป็นการศึกษาที่มีวัตถุประสงค์เพื่อการจัดจำแนกทางอนุกรมวิธานเป็นหลัก เช่น การศึกษาของ Cavalcarri *et al.* (1999), Cheng *et al.* (2005), Haryono (2005) และ Bhassu and Rashid (2009) เป็นต้น

### 3.3 การประยุกต์ใช้ในการศึกษาเกี่ยวกับการเจริญพัฒนาและวิวัฒนาการ

วิธีการทางมอร์โฟเมทริกส์ถูกใช้เป็นเครื่องมือหนึ่งในการศึกษาเกี่ยวกับการเจริญพัฒนาและวิวัฒนาการของสิ่งมีชีวิตร่วมกับเทคนิคหรือวิธีการอื่น ๆ (Roth and Mecer, 2000) ทั้งนี้ วิธีการทางมอร์โฟเมทริกส์เป็นเครื่องมือที่ช่วยในการอธิบายเชิงปริมาณ (Liu *et al.*, 1996) หรือช่วยค้นหา (Jernvall, 2000) เกี่ยวกับแนววิถีของการกระบวนการเจริญพัฒนา (*ontogenetic trajectory*) การเปลี่ยนแปลง (*variability*) หรือความแปรผันร่วม (*covariance*) ทางสัณฐานวิทยา (Roth and Mecer, 2000) เช่น การศึกษาเกี่ยวกับพัฒนาการ (*ontogeny*) ของรูปร่าง ในแต่ละช่วงอายุ (Hamza, 1999; Varian and Nichols, 2010) การศึกษาความหลากหลายทางสัณฐานวิทยา (*morphological diversity*) และโอกาสที่เป็นไปได้และสาเหตุของการแพร่ขยายพันธุ์ (*adaptive radiation*) ของปลาคุ้มปลาหม้อสีแอฟริกา (*African cichlid*) (Young *et al.*, 2009) การศึกษาเกี่ยวกับการสร้างแบบจำลองของกระบวนการวิวัฒนาการ (Streelman *et al.*, 2003) การศึกษาเกี่ยวกับกายวิภาคศาสตร์เชิงหน้าที่ การเจริญพัฒนา และตำแหน่งทางพันธุกรรมของโครงสร้างกะโหลกหัวและขากรรไกร เพื่อวิเคราะห์เกี่ยวกับวิวัฒนาการ การล่าเหยื่อแบบจำเพาะของคุ้มปลาหม้อสี (Steart and Alberson, 2010) เป็นต้น

การศึกษาทางมอร์โฟเมทริกส์ยังถูกใช้ในการศึกษาเบรียบเทียบความแปรผันและความแตกต่างทางสัณฐานวิทยาของปลาที่อยู่ในสภาพพะเพะเลี้ยงกับปลาที่อยู่ในสภาพธรรมชาติ เพื่อเปรียบเทียบผลของสภาพพะเพะเลี้ยงต่อรูปร่างของปลา (Hard *et al.*, 2000; Çoban *et al.*, 2008) หรือการศึกษาเกี่ยวกับผลของการให้อาหารและการอดอาหารต่อการเปลี่ยนแปลงทางมอร์โฟเมทริกส์ของรูปร่าง เพื่อสร้างดัชนีบ่งชี้ถึงสถานะภาพทางโภชนาการ (Park *et al.*, 2007)

### 3.4 การประยุกต์ใช้ในทางนิเวศวิทยา

การศึกษาข้อมูลทางด้านมอร์โฟเมทริกส์ถูกประยุกต์ใช้ในการศึกษาความสัมพันธ์ระหว่างปัจจัยของสิ่งแวดล้อมต่อความแปรผันและความแปรผันต่างทางสัณฐานวิทยาของสิ่งมีชีวิตในหลากหลายแนวทางตัวอ่อนย่างเช่น การศึกษาเพื่อใช้เป็นดัชนีในการศึกษาโครงสร้างของกลุ่มประชากรหรือความกว้างของการใช้ทรัพยากร (Douglas and Matthews, 1992) การศึกษาความสัมพันธ์ระหว่างปัจจัยทางนิเวศวิทยาของแหล่งอาศัยที่มีต่อความแปรผันทางสัณฐานวิทยา (Bemvenutti, 2006; Jørgensen *et al.*, 2008; Cochran-Biederman, 2010) การศึกษานิรเมชณ์ที่เกี่ยวกับการเปลี่ยนแปลงทางสัณฐานวิทยาที่เกิดจากการเปลี่ยนแปลงของปัจจัยสิ่งแวดล้อม ซึ่งอาจเกิดจากการอพยพเข้ายังอาชัยของสิ่งมีชีวิต (Nicieza, 1995; Collin *et al.*, 2005; Varien and Nichols, 2010) หรือการกระทำของมนุษย์ เช่น การสร้างเขื่อนเพื่อกันการไหลของกระแสน้ำ (Haas *et al.*, 2010) และการศึกษานิรเมชณ์ที่เกี่ยวกับการปรับตัวทางสัณฐานวิทยาเชิงนิเวศเพื่อการใช้ประโยชน์หรือการแบ่งปันทรัพยากรในแหล่งอาศัยของสิ่งมีชีวิต (Kassam *et al.*, 2003; Kersftott and Schaefer, 2006; Albertson, 2008) เป็นต้น

จากการวิจัยที่ผ่านมาพบว่า ปัจจัยของสิ่งแวดล้อมที่มีผลต่อความแปรผันทางสัณฐานวิทยาของสิ่งมีชีวิต กลุ่มปัจมีอยู่หกกลุ่ม เช่น อุณหภูมิ (Martin, 1949; Beacham, 1990; Loy *et al.*, 1996) ความเค็ม ระดับความลึก และความแรงของกระแสน้ำ (Hendry *et al.*, 2000; Imre *et al.*, 2002; Langerhans *et al.*, 2003; Bagherian and Rahmani, 2009) ชนิดอาหารและรูปแบบการกินอาหาร (Mayer, 1987; Wimberger, 1992; Day *et al.*, 1994; Robinson and Wilson, 1996; Andresson, 2003; Svanbäck and Eklov, 2003; Andresson *et al.*, 2005) ขนาดของเหยื่อ (Gatz, 1979; Turan, 2004) อย่างไรก็ตามปัจจัยดังกล่าวมีความสัมพันธ์กันอย่างซับซ้อน ทำให้การศึกษาอิทธิพลของปัจจัยของสิ่งแวดล้อมต่อการแปรผันทางสัณฐานวิทยาเป็นเรื่องที่ค่อนข้างซับซ้อนได้ลำบาก นอกเหนือไปจากนี้ยังมีปัจจัยทางพันธุกรรม (McPhail, 1992; Hatfield, 1997; Kassam *et al.*, 2003; Hassam *et al.*, 2010) และอิทธิพลร่วมระหว่างปัจจัยทางพันธุกรรมและสิ่งแวดล้อม (Wimberger 1992; Robinson and Wilson, 1996; Marcil *et al.*, 2008; Hassam *et al.*, 2010) มีผลทำให้เกิดความแปรผันทางสัณฐานวิทยาของสิ่งมีชีวิตด้วย

วิธีการทำงานมอร์โฟเมทริกส์บังคุกใช้ในการศึกษาเกี่ยวกับสัณฐานวิทยาเชิงหน้าที่ ซึ่งจากรายงานการศึกษาที่ผ่านมา ส่วนมากมุ่งความสนใจไปที่การศึกษาการตอบสนองทางสัณฐานวิทยาเชิงหน้าที่ต่อปัจจัยของสิ่งแวดล้อมใน 2 แนวทาง คือ การปรับตัวเพื่อให้สอดคล้องเหมาะสมกับการกินอาหาร (feeding adaptation) ดังเช่น การศึกษาของ Hegrenes (2001), Sardiña and Cazorla (2005), Andersson *et al.* (2006), Russo *et al.* (2007), Mérona *et al.* (2008) และ Corse *et al.* (2009) เป็นต้น และการปรับตัวเพื่อให้สอดคล้องเหมาะสมกับการเคลื่อนที่หรือว่ายน้ำ (swimming adaptation) ดังเช่น การศึกษาของ Boily and magnam (2002), Fisher and Hogan (2007), Liao (2007), Ohberger *et al.* (2008) และ Rouleau *et al.* (2010) เป็นต้น